

ΠΡΟΔΙΑΓΡΑΦΕΣ IDCO
ΓΙΑ LATITUDE INTEGRATION

LATITUDE™ NXT
Σύστημα διαχείρισης ασθενή

Outdated version. Do not use.
Version überholt. Nicht verwenden.
Version obsolète. Ne pas utiliser.
Versión obsoleta. No utilizar.
Versione obsoleta. Non utilizzare.
Verouderde versie. Niet gebruiken.
Föråldrad version. Använd ej.
Παλιά έκδοση. Μην την χρησιμοποιείτε.
Versão obsoleta. Não utilize.
Forældet version. Må ikke anvendes.
Zastaralá verze. Nepoužívat.
Utdatert versjon. Skal ikke brukes.
Zastaraná verzia. Nepoužívať.
Elavult verzió. Ne használja!
Wersja nieaktualna. Nie używać.

Outdated version. Do not use.
Version überholt. Nicht verwenden.
Version obsolète. Ne pas utiliser.
Versión obsoleta. No utilizar.
Versione obsoleta. Non utilizzare.
Verouderde versie. Niet gebruiken.
Föråldrad version. Använd ej.
Παλιά έκδοση. Μην την χρησιμοποιείτε.
Versão obsoleta. Não utilize.
Forældet version. Må ikke anvendes.
Zastaralá verze. Nepoužívat.
Utdatert versjon. Skal ikke brukes.
Zastaraná verzia. Nepoužívať.
Elavult verzió. Ne használja!
Wersja nieaktualna. Nie używać.

ΠΙΝΑΚΑΣ ΠΕΡΙΕΧΟΜΕΝΩΝ

Επισκόπηση	1
Προδιαγραφές Μηνυμάτων LATITUDE IDCO	1
Δομή Τμήματος	1
Δομή τμήματος MSH	1
Δομή τμήματος PID	2
Δομή τμήματος PV1	2
Δομή τμήματος PV2	2
Δομή τμήματος OBR	2
Δομή τμήματος OBX	3
Παράμετροι Εξόδου	3
Ορισμοί Συναγερμών και Προειδοποιήσεων	3
Αναφορές	3
Βασικοί Όροι	4
Μετατροπή Δεδομένων Εμφυτευμένης Συσκευής σε Μηνύματα IDCO	9
Κατάσταση Μπαταρίας	9
SET_BRADY_SENSOR_TYPE	9
Χαρτογράφηση Επεισοδίου	10
Χαρτογράφηση Μετρητών	11
Χαρτογράφηση Διαμορφώσεων Απαγωγής	13
Περιορισμοί του Συστήματος	13
Ορισμοί Συναγερμών και Προειδοποιήσεων	14
Αναφορές	14
Παράδειγμα Αρχείου IDCO	15

Outdated version. Do not use.
Version überholt. Nicht verwenden.
Version obsolète. Ne pas utiliser.
Versión obsoleta. No utilizar.
Versione obsoleta. Non utilizzate.
Verouderde versie. Niet gebruiken.
Föråldrad version. Använd ej.
Παλιά έκδοση. Μην την χρησιμοποιείτε.
Versão obsoleta. Não utilize.
Forældet version. Må ikke anvendes.
Zastaralá verze. Nepoužívat.
Utdatert versjon. Skal ikke brukes.
Zastaraná verzia. Nepoužívať.
Elavult verzió. Ne használja!
Wersja nieaktualna. Nie używać.

Τα LATITUDE και RYTHMIQ είναι εμπορικά σήματα της Boston Scientific Corporation ή των συνδεδεμένων εταιρειών της.

Επισκόπηση

Το σύστημα απομακρυσμένης παρακολούθησης ασθενών LATITUDE της Boston Scientific δημιουργεί μηνύματα εμφυτεύσιμης συσκευής παρακολούθησης καρδιακού ρυθμού (IDCO) σύμφωνα με τις προδιαγραφές και τους ορισμούς που δημοσιεύονται στο παρόν έγγραφο. Τα μηνύματα συμμορφώνονται με το προφίλ Integrating the Healthcare Enterprise (IHE) Patient Care Device (PCD) Technical Framework IDCO. Αυτά τα μηνύματα χρησιμοποιούνται για την αποστολή δεδομένων ασθενών στο σύστημα ηλεκτρονικών ιατρικών αρχείων (EMR) ή το σύστημα κλινικών πληροφοριών (CIS).

Το παρόν έγγραφο προορίζεται για πελάτες του LATITUDE της Boston Scientific (BSC) οι οποίοι (1) ενσωματώνουν μηνύματα IDCO σε ένα EMR και (2) χρησιμοποιούν συστήματα EMR ή CIS για την παρακολούθηση και τη διαχείριση δεδομένων ασθενών. Η πρώτη ενότητα του παρόντος εγγράφου («Προδιαγραφές Μηνυμάτων LATITUDE IDCO») προορίζεται πρωτίστως για το τεχνικό προσωπικό που συμμετέχει στην πραγματοποίηση της ενσωμάτωσης μηνυμάτων, ενώ η δεύτερη ενότητα προορίζεται κυρίως για τους ιατρούς ως περαιτέρω αποσαφήνιση της έκδοσης των δεδομένων της Boston Scientific που περιλαμβάνονται στο μήνυμα.

ΣΗΜΕΙΩΣΗ: Λαμβάνεται ως δεδομένο ότι οι αναγνώστες αυτής της ενότητας είναι εξοικειωμένοι με την ορολογία, τη σύνταξη προδιαγραφών, τους τύπους δεδομένων, τις δομές μηνυμάτων και τη σημασιολογία HL7 και IDCO για τα μηνύματα IDCO. Για περισσότερες πληροφορίες, ανατρέξτε στις εξής διευθύνσεις:

- www.hl7.org για μηνύματα HL7
- www.ihe.net για μηνύματα IDCO
- http://ihe.net/Technical_Framework/index.cfm#pcd για το PCD-09 Technical Framework (αποτελείται από τους Τόμους 1, 2 και 3)
- <http://standards.ieee.org/findstds/standard/11073-10103-2012.html> για την ονοματολογία IEEE IDCO

Προδιαγραφές Μηνυμάτων LATITUDE IDCO

Το μήνυμα IDCO LATITUDE είναι ένα μήνυμα PCD-09 σύμφωνα με το IHE PCD Technical Framework Revision 2.0, August 16, 2012. Σύμφωνα με το τεχνικό πλαίσιο, το μήνυμα είναι ένα τυπικό αυτόματο μήνυμα HL7 v2.6 εντολών και παρατηρήσεων που περιέχει παρατηρήσεις που έχουν καταγραφεί από την εμφυτευμένη συσκευή και έχουν κωδικοποιηθεί χρησιμοποιώντας την ονοματολογία IEEE 11073-10103 IDC. Αυτό το διεθνές πρότυπο περιγράφει το καθολικό μοντέλο για τη διαλειτουργικότητα των ηλεκτρονικών ιατρικών δεδομένων.

Οι τιμές που βρίσκονται εντός εισαγωγικών στις στήλες τιμών στους παρακάτω πίνακες υποδεικνύουν τις κωδικοποιημένες τιμές που θα εμφανίζονται πάντα κατ' αυτόν τον τρόπο. Οι τιμές χωρίς εισαγωγικά υποδεικνύουν παράδειγμα ή περιγραφή της τιμής.

Δομή Τμήματος

Όλα τα δεδομένα αποστέλλονται σύμφωνα με το PCD-09. Οι πληροφορίες που περιλαμβάνονται σε αυτήν την ενότητα προορίζονται για τον προσδιορισμό της εξόδου BSC για τα μηνύματα IDCO. Δεν είναι εξαντλητικές και δεν προορίζονται για τον περαιτέρω προσδιορισμό της ονοματολογίας IDCO.

Δομή τμήματος MSH

Το τμήμα MSH περιέχει πληροφορίες σχετικά με τον αποστολέα και τον παραλήπτη του μηνύματος, τον τύπο του μηνύματος, την χρονική ένδειξη κ.λπ. Είναι το πρώτο τμήμα του μηνύματος IDCO.

ΟΝΟΜΑ ΣΤΟΙΧΕΙΟΥ	ΑΚΟΛ.	ΔΕΥΤ. ΑΚΟΛ.	ΤΙΜΗ
Εφαρμογή αποστολής	3		«LATITUDE»
Εγκατάσταση αποστολής	4		«BOSTON SCIENTIFIC»

ΟΝΟΜΑ ΣΤΟΙΧΕΙΟΥ	ΑΚΟΛ.	ΔΕΥΤ. ΑΚΟΛ.	ΤΙΜΗ
Εγκατάσταση παραλαβής	6		Όνομα Κλινικής LATITUDE
Κωδικοποίηση χαρακτήρων	18		«UNICODE UTF-8»

Δομή τμήματος PID

Το τμήμα PID περιέχει στοιχεία εξακρίβωσης ταυτότητας των ασθενών όπως όνομα, αρ. ταυτότητας, Τ.Κ. κ.λπ. Αυτά τα στοιχεία χρησιμοποιούνται για την ταυτοποίηση των ασθενών.

ΟΝΟΜΑ ΣΤΟΙΧΕΙΟΥ	ΑΚΟΛ.	ΔΕΥΤ. ΑΚΟΛ.	ΤΙΜΗ
Αναγνωριστικό χώρου ονομάτων	3	4	«BSX»

Δομή τμήματος PV1

Το τμήμα PV1 (Επίσκεψη ασθενούς) περιέχει πληροφορίες σχετικά με τον θεράποντα ιατρό του ασθενούς.

ΟΝΟΜΑ ΣΤΟΙΧΕΙΟΥ	ΑΚΟΛ.	ΔΕΥΤ. ΑΚΟΛ.	ΤΙΜΗ
Κατηγορία ασθενούς	2		«R»

Δομή τμήματος PV2

Το τμήμα PV2 (Επίσκεψη ασθενούς 2) περιέχει πληροφορίες σχετικά με την ομάδα LATITUDE του ασθενούς.

ΟΝΟΜΑ ΣΤΟΙΧΕΙΟΥ	ΑΚΟΛ.	ΔΕΥΤ. ΑΚΟΛ.	ΤΙΜΗ
Όνομα μονάδας (ομάδα)	23	1	Όνομα ομάδας LATITUDE Παράδειγμα: Καρδιολογία
Αριθμός αναγνώρισης (κύρια ή δευτερεύουσα ομάδα ασθενών)		3	1 Δείτε τη σημείωση 1

Σημειώσεις PV2

- Αυτή η τιμή θα είναι «1» εάν το αρχείο HL7 συσχετίζεται με την κύρια ομάδα LATITUDE ή θα είναι «2» εάν συσχετίζεται με τη δευτερεύουσα ομάδα LATITUDE.

Δομή τμήματος OBR

Τα τμήματα OBR είναι οι κεφαλίδες ενότητων για τα μεμονωμένα τμήματα ανάκτησης πληροφοριών OBX. Περιέχουν δεδομένα όπως χρονικές ενδείξεις, αναγνωριστικό αναφοράς και ένα μοναδικό αναγνωριστικό που δημιουργείται από το σύστημα.

ΟΝΟΜΑ ΣΤΟΙΧΕΙΟΥ	ΑΚΟΛ.	ΔΕΥΤ. ΑΚΟΛ.	ΤΙΜΗ ΠΑΡΑΔΕΙΓΜΑΤΟΣ
Καθολικό Αναγνωριστικό Υπηρεσίας	4		
Αναγνωριστικό		1	754053
Κείμενο		2	Δείτε τη σημείωση 1
Ημερομηνία/ώρα παρατήρησης #	7		20060429080005+0000 Δείτε τη σημείωση 2
Κατάσταση Αποτελέσματος	25		«F» Δείτε τη σημείωση 3

Σημειώσεις OBR

1. Το κείμενο του καθολικού αναγνωριστικού υπηρεσίας θα έχει τη μορφή MDC_IDC_ENUM_SESS_TYPE {τύπος συνεδρίας} (π.χ. MDC_IDC_ENUM_SESS_TYPE_RemoteScheduled).
2. Η ημερομηνία/ώρα παρατήρησης θα είναι χρονική ένδειξη για τη στιγμή που πραγματοποιήθηκε η ανάκτηση δεδομένων από την εμφυτευμένη συσκευή. Η χρονική ένδειξη θα καταγράφεται στη ζώνη ώρας που έχει ρυθμιστεί για τον ασθενή.
3. Η κατάσταση αποτελέσματος θα είναι «F» (τελικά αποτελέσματα).

Δομή τμήματος OBX

Τα τμήματα OBX περιέχουν δεδομένα που συγκεντρώνονται κατά τη διάρκεια της πιο πρόσφατης ανάκτησης δεδομένων από κάποια συσκευή.

ΟΝΟΜΑ ΣΤΟΙΧΕΙΟΥ	ΑΚΟΛ.	ΔΕΥΤ. ΑΚΟΛ.	ΤΙΜΗ ΠΑΡΑΔΕΙΓΜΑΤΟΣ
Κατάσταση αποτελέσματος παρατήρησης	11		«F» Δείτε τη σημείωση 1
Ημερομηνία/ώρα παρατήρησης	14		20060317170000+0000 Δείτε τη σημείωση 2

Σημειώσεις OBX

1. Η κατάσταση αποτελέσματος θα είναι «F» (τελικά αποτελέσματα).
2. Σε περίπτωση που η ημερομηνία μέτρησης διαφέρει από την ημερομηνία παρατήρησης στο OBR, θα συμπεριλαμβάνεται η ημερομηνία της μέτρησης.

Παράμετροι Εξόδου

- Οι συμβολοσειρές θα αποστέλλονται στη γλώσσα που έχει διαμορφωθεί για την εκάστοτε κλινική στο LATITUDE.
- Οι αριθμητικές τιμές θα αποστέλλονται πάντα χρησιμοποιώντας την τελεία «.» ως υποστιγμή, δηλαδή ως υποδιαστολή δεκαδικού αριθμού.

Ορισμοί Συναγερμών και Προειδοποιήσεων

- Εάν υπάρχει προειδοποίηση, θα προηγείται ένα NTE προειδοποίησης πριν από ένα ή περισσότερα NTE συναγερμού. Ένα NTE προειδοποίησης θα περιέχει μία ή περισσότερες ειδοποιήσεις σε ένα NTE.
- Εάν εκδηλωθεί συναγερμός, θα υπάρχει ένα NTE για κάθε συναγερμό.

Αναφορές

Αναφορά Αναπαράστασης ΗΓΜ

Εάν είναι διαθέσιμη στον όγκο δεδομένων που παραλαμβάνεται από την PG, η Αναφορά Αναπαράστασης ΗΓΜ επισυνάπτεται στο μήνυμα ως αρχείο PDF και συσχετίζεται με το αντίστοιχο επεισόδιο APMRT χρησιμοποιώντας το αναγνωριστικό ομάδας (OBX-4) για το επεισόδιο APMRT.

Αναφορά Συνδυασμένης Παρακολούθησης

Στο μήνυμα επισυνάπτεται μια Αναφορά Συνδυασμένης Παρακολούθησης ως αρχείο PDF σε ξεχωριστό OBX.

Βασικοί Όροι

Ο ακόλουθος πίνακας περιέχει τους όρους ονοματολογίας που ενδέχεται να περιέχονται σε ένα μήνυμα IDCO της BSC.

ΚΩΔΙΚΟΣ ΑΝΑΦΟΡΑΣ ΠΡΟΘΕΜΑ MDC_IDC_	ΕΜΦΑΝΙΖΟΜΕΝΟ ΟΝΟΜΑ
DEV	Εμφυτεύσιμη Καρδιακή Συσκευή
DEV_TYPE	Τύπος Εμφυτεύσιμης Καρδιακής Συσκευής
DEV_MODEL	Μοντέλο Εμφυτεύσιμης Καρδιακής Συσκευής
DEV_SERIAL	Σειριακός Αριθμός Εμφυτεύσιμης Καρδιακής Συσκευής
DEV_MFG	Κατασκευαστής Εμφυτεύσιμης Καρδιακής Συσκευής
DEV_IMPLANT_DT	Ημερομηνία Εμφύτευσης Εμφυτεύσιμης Καρδιακής Συσκευής
LEAD	Χαρακτηριστικά Εμφυτεύσιμης Απαγωγής
LEAD_MODEL	Μοντέλο Εμφυτεύσιμης Απαγωγής
LEAD_SERIAL	Σειριακός Αριθμός Εμφυτεύσιμης Απαγωγής
LEAD_MFG	Κατασκευαστής Εμφυτεύσιμης Απαγωγής
LEAD_IMPLANT_DT	Ημερομηνία Εμφύτευσης Εμφυτεύσιμης Απαγωγής
LEAD_POLARITY_TYPE	Τύπος Πολικότητας Εμφυτεύσιμης Απαγωγής
LEAD_LOCATION	Θέση Εμφυτεύσιμης Απαγωγής
LEAD_LOCATION_DETAIL_1	Λεπτομέρεια 1 Θέσης Εμφυτεύσιμης Απαγωγής
SESS	Συνεδρία Ανάκτησης Δεδομένων
SESS_DTM	Ημερομηνία/Ωρα Συνεδρίας Ανάκτησης Δεδομένων
SESS_TYPE	Τύπος Συνεδρίας Ανάκτησης Δεδομένων
SESS_CLINIC_NAME	Όνομα Κλινικής
MSMT	Μετρήσεις
MSMT_BATTERY	Μετρήσεις Μπαταρίας
MSMT_BATTERY_DTM	Ημερομηνία/Ωρα Μετρήσεων Μπαταρίας
MSMT_BATTERY_STATUS	Κατάσταση Μπαταρίας
MSMT_BATTERY_REMAINING_LONGEVITY	Υπολειπόμενη Διάρκεια Ισχύος Μπαταρίας
MSMT_BATTERY_REMAINING_PERCENTAGE	Υπολειπόμενο Ποσοστό Ισχύος Μπαταρίας
MSMT_CAP	Μετρήσεις Πυκνωτή
MSMT_CAP_CHARGE_DTM	Ημερομηνία/Ωρα Τελευταίας Φόρτισης Πυκνωτή
MSMT_CAP_CHARGE_TIME	Ωρα Φόρτισης Πυκνωτή
MSMT_CAP_CHARGE_TYPE	Τύπος Φόρτισης Πυκνωτή

ΚΩΔΙΚΟΣ ΑΝΑΦΟΡΑΣ ΠΡΟΘΕΜΑ MDC_IDC_	ΕΜΦΑΝΙΖΟΜΕΝΟ ΟΝΟΜΑ
MSMT_LEADCHNL_[CHAMBER]	Μετρήσεις Καναλιού Απαγωγής
MSMT_LEADCHNL_[CHAMBER]_DTM_[STRTEND]	Ημερομηνία και Ώρα Μετρήσεων Καναλιού Απαγωγής
MSMT_LEADCHNL_[CHAMBER]_LEAD_CHANNEL_STATUS	Κατάσταση Καναλιού Απαγωγής
MSMT_LEADCHNL_[CHAMBER]_SENSING	Μετρήσεις Αίσθησης Καναλιού Απαγωγής
MSMT_LEADCHNL_[CHAMBER]_SENSING_INTR_AMPL_[MMM]	Ενδογενής Έντασης Αίσθησης Καναλιού Απαγωγής
MSMT_LEADCHNL_[CHAMBER]_SENSING_POLARITY	Πολικότητα Αίσθησης Καναλιού Απαγωγής
MSMT_LEADCHNL_[CHAMBER]_PACING_THRESHOLD	Μετρήσεις Ουδού Βηματοδότησης Καναλιού Απαγωγής
MSMT_LEADCHNL_[CHAMBER]_PACING_THRESHOLD_AMPLITUDE	Ένταση Ουδού Βηματοδότησης Καναλιού Απαγωγής
MSMT_LEADCHNL_[CHAMBER]_PACING_THRESHOLD_PULSEWIDTH	Διάρκεια Παλμού Ουδού Βηματοδότησης Καναλιού Απαγωγής
MSMT_LEADCHNL_[CHAMBER]_PACING_THRESHOLD_MEASUREMENT_METHOD	Μέθοδος Μέτρησης Ουδού Βηματοδότησης Καναλιού Απαγωγής
MSMT_LEADCHNL_[CHAMBER]_PACING_THRESHOLD_POLARITY	Πολικότητα Ουδού Βηματοδότησης Καναλιού Απαγωγής
MSMT_LEADCHNL_[CHAMBER]_IMPEDANCE	Μετρήσεις Σύνθετης Αντίστασης Καναλιού Απαγωγής
MSMT_LEADCHNL_[CHAMBER]_IMPEDANCE_VALUE	Τιμή Σύνθετης Αντίστασης Καναλιού Απαγωγής
MSMT_LEADCHNL_[CHAMBER]_IMPEDANCE_POLARITY	Πολικότητα Σύνθετης Αντίστασης Καναλιού Απαγωγής
MSMT_LEADHVCHNL	Μετρήσεις Καναλιού Υψηλής Τάσης Απαγωγής
MSMT_LEADHVCHNL_DTM_[STRTEND]	Ημερομηνία/Ωρα Καναλιού Υψηλής Τάσης Απαγωγής
MSMT_LEADHVCHNL_IMPEDANCE	Σύνθετη Αντίσταση Καναλιού Υψηλής Τάσης Απαγωγής
MSMT_LEADHVCHNL_MEASUREMENT_TYPE	Τύπος Μέτρησης Καναλιού Υψηλής Τάσης Απαγωγής
MSMT_LEADHVCHNL_STATUS	Κατάσταση Καναλιού Υψηλής Τάσης Απαγωγής
SET	Ρυθμίσεις
SET_CRT	Ρυθμίσεις CRT
SET_CRT_LVRV_DELAY	Καθυστέρηση CRT LV-RV
SET_CRT_PACED_CHAMBERS	Βηματοδότηση κοιλιακών κοιλοτήτων κατά τη διάρκεια της βηματοδότησης CRT

ΚΩΔΙΚΟΣ ΑΝΑΦΟΡΑΣ ΠΡΟΘΕΜΑ MDC_IDC_	ΕΜΦΑΝΙΖΟΜΕΝΟ ΟΝΟΜΑ
SET_LEADCHNL_[CHAMBER]	Ρυθμίσεις Καναλιού Απαγωγής
SET_LEADCHNL_[CHAMBER]_SENSING	Ρυθμίσεις Αίσθησης Καναλιού Απαγωγής
SET_LEADCHNL_[CHAMBER]_SENSING_ SENSITIVITY	Ρύθμιση Καναλιού Απαγωγής - Ευαισθησία Αίσθησης
SET_LEADCHNL_[CHAMBER]_SENSING_ POLARITY	Ρύθμιση Καναλιού Απαγωγής - Πολικότητα Αίσθησης
SET_LEADCHNL_[CHAMBER]_SENSING_ ANODE_LOCATION_[1..3]	Ρύθμιση Καναλιού Απαγωγής - Θέση Ανόδου Αίσθησης
SET_LEADCHNL_[CHAMBER]_SENSING_ ANODE_ELECTRODE_[1..3]	Ρύθμιση Καναλιού Απαγωγής - Ακροδέκτης Ανόδου Αίσθησης
SET_LEADCHNL_[CHAMBER]_SENSING_ CATHODE_LOCATION_[1..3]	Ρύθμιση Καναλιού Απαγωγής - Θέση Καθόδου Αίσθησης
SET_LEADCHNL_[CHAMBER]_SENSING_ CATHODE_ELECTRODE_[1..3]	Ρύθμιση Καναλιού Απαγωγής - Ακροδέκτης Καθόδου Αίσθησης
SET_LEADCHNL_[CHAMBER]_SENSING_ ADAPTATION_MODE	Ρύθμιση Καναλιού Απαγωγής - Λειτουργία Προσαρμογής Αίσθησης
SET_LEADCHNL_[CHAMBER]_PACING	Ρυθμίσεις Βηματοδότησης Καναλιού Απαγωγής
SET_LEADCHNL_[CHAMBER]_PACING_ AMPLITUDE	Ρύθμιση Καναλιού Απαγωγής - Ένταση Βηματοδότησης
SET_LEADCHNL_[CHAMBER]_PACING_ PULSEWIDTH	Ρύθμιση Καναλιού Απαγωγής - Διάρκεια Παλμού Βηματοδότησης
SET_LEADCHNL_[CHAMBER]_PACING_ POLARITY	Ρύθμιση Καναλιού Απαγωγής - Πολικότητα Βηματοδότησης
SET_LEADCHNL_[CHAMBER]_PACING_ ANODE_LOCATION_[1..3]	Ρύθμιση Καναλιού Απαγωγής - Θέση Ανόδου Βηματοδότησης
SET_LEADCHNL_[CHAMBER]_PACING_ ANODE_ELECTRODE_[1..3]	Ρύθμιση Καναλιού Απαγωγής - Ακροδέκτης Ανόδου Βηματοδότησης
SET_LEADCHNL_[CHAMBER]_PACING_ CATHODE_LOCATION_[1..3]	Ρύθμιση Καναλιού Απαγωγής - Θέση Καθόδου Βηματοδότησης
SET_LEADCHNL_[CHAMBER]_PACING_ CATHODE_ELECTRODE_[1..3]	Ρύθμιση Καναλιού Απαγωγής - Ακροδέκτης Καθόδου Βηματοδότησης
SET_LEADCHNL_[CHAMBER]_PACING_ CAPTURE_MODE	Ρύθμιση Καναλιού Απαγωγής - Λειτουργία Σύλληψης Βηματοδότησης

ΚΩΔΙΚΟΣ ΑΝΑΦΟΡΑΣ ΠΡΟΘΕΜΑ MDC_IDC_	ΕΜΦΑΝΙΖΟΜΕΝΟ ΟΝΟΜΑ
SET_BRADY	Ρυθμίσεις Βραδυκαρδίας
SET_BRADY_MODE	Λειτουργία Ρυθμίσεων Βραδυκαρδίας (Κωδικός NBG)
SET_BRADY_LOWRATE	Ρυθμίσεις Βραδυκαρδίας - Κατώτερο Όριο Συχνότητας
SET_BRADY_SENSOR_TYPE	Ρυθμίσεις Βραδυκαρδίας - Τύπος Αισθητήρα
SET_BRADY_MAX_TRACKING_RATE	Ρυθμίσεις Βραδυκαρδίας - Μέγιστη Συχνότητα Ρυμούλκησης
SET_BRADY_MAX_SENSOR_RATE	Ρυθμίσεις Βραδυκαρδίας - Μέγιστη Συχνότητα Αισθητήρα
SET_BRADY_SAV_DELAY_[HIGHLOW]	Ρυθμίσεις Βραδυκαρδίας - Κολποκοιλιακή Καθυστέρηση επί Αίσθησης
SET_BRADY_PAV_DELAY_[HIGHLOW]	Ρυθμίσεις Βραδυκαρδίας - Κολποκοιλιακή Καθυστέρηση επί Βηματοδότησης
SET_BRADY_AT_MODE_SWITCH_MODE	Λειτουργία Ρυθμίσεων Βραδυκαρδίας - Εναλλαγή Τρόπου Λειτουργίας Κολπικής Ταχυκαρδίας
SET_BRADY_AT_MODE_SWITCH_RATE	Ρυθμίσεις Βραδυκαρδίας - Ρυθμός Εναλλαγής Τρόπου Λειτουργίας Κολπικής Ταχυκαρδίας
SET_TACHYTHERAPY	Ρυθμίσεις Θεραπείας Ταχυκαρδίας
SET_TACHYTHERAPY_VSTAT	Ρύθμιση Θεραπείας Ταχυκαρδίας - Κοιλιακή κατάσταση
SET_ZONE	Ρυθμίσεις Ζώνης
SET_ZONE_TYPE	Ρύθμιση Ζώνης - Κατηγορία Τύπου
SET_ZONE_VENDOR_TYPE	Ρύθμιση Ζώνης - Κατηγορία Τύπου Παρόχου
SET_ZONE_STATUS	Κατάσταση Ρύθμισης Ζώνης
SET_ZONE_DETECTION_INTERVAL	Ρύθμιση Ζώνης - Διάστημα Ανίχνευσης
SET_ZONE_TYPE_ATP_[1..10]	Ρύθμιση Ζώνης - Τύπος Θεραπείας Απόκρισης σε Κολπική Ταχυκαρδία
SET_ZONE_NUM_ATP_SEQS_[1..10]	Ρύθμιση Ζώνης - Αριθμός Αλληλουχιών Θεραπειών Απόκρισης σε Κολπική Ταχυκαρδία
SET_ZONE_SHOCK_ENERGY_[1..10]	Ρύθμιση Ζώνης - Ενέργεια Εκκένωσης
SET_ZONE_NUM_SHOCKS_[1..10]	Ρύθμιση Ζώνης - Αριθμός Εκκενώσεων
STAT	Στατιστικά Στοιχεία
STAT_DTM_[STRTEND]	Ημερομηνία/Ωρα Στατιστικών Στοιχείων
STAT_BRADY	Στατιστικά Στοιχεία Βραδυκαρδίας
STAT_BRADY_DTM_[STRTEND]	Ημερομηνία/Ωρας Στατιστικών Στοιχείων Βραδυκαρδίας
STAT_BRADY_RA_PERCENT_PACED	Στατιστικά Στοιχεία Βραδυκαρδίας - Ποσοστό RA επί Βηματοδότησης
STAT_BRADY_RV_PERCENT_PACED	Στατιστικά Στοιχεία Βραδυκαρδίας - Ποσοστό RV επί Βηματοδότησης

ΚΩΔΙΚΟΣ ΑΝΑΦΟΡΑΣ ΠΡΟΘΕΜΑ MDC_IDC_	ΕΜΦΑΝΙΖΟΜΕΝΟ ΟΝΟΜΑ
STAT_CRT	Στατιστικά Στοιχεία CRT
STAT_CRT_DTM_[STRTEND]	Ημερομηνία/Ωρα Στατιστικών Στοιχείων CRT
STAT_CRT_LV_PERCENT_PACED	Στατιστικά Στοιχεία CRT - Ποσοστό LV επί Βηματοδότησης
STAT_EPISODE	Στατιστικά Στοιχεία Επεισοδίου
STAT_EPISODE_TYPE	Στατιστικά Στοιχεία Επεισοδίου - Κατηγορία Τύπου
STAT_EPISODE_TYPE_INDUCED	Στατιστικά Στοιχεία Επεισοδίου - Επαγόμενος Τύπος
STAT_EPISODE_VENDOR_TYPE	Στατιστικά Στοιχεία Επεισοδίου - Κατηγορία Τύπου Παρόχου
STAT_EPISODE_RECENT_COUNT	Στατιστικά Στοιχεία Επεισοδίου - Πρόσφατη Καταμέτρηση
STAT_EPISODE_RECENT_COUNT_DTM_[STRTEND]	Στατιστικά Στοιχεία Επεισοδίου - Πρόσφατη Ημερομηνία/Ωρα
EPISODE	Επεισόδιο
EPISODE_ID	Αναγνωριστικό Επεισοδίου
EPISODE_DTM	Ημερομηνία/Ωρα Επεισοδίου
EPISODE_TYPE	Κατηγορία Τύπου Επεισοδίου
EPISODE_TYPE_INDUCED	Τύπος Επεισοδίου - Σήμανση Επαγωγής
EPISODE_VENDOR_TYPE	Κατηγορία Τύπου Παρόχου Επεισοδίου
EPISODE_ATRIAL_INTERVAL_AT_DETECTION	Διάστημα Ανίχνευσης Επεισοδίου - Κοιλιακό
EPISODE_VENTRICULAR_INTERVAL_AT_DETECTION	Διάστημα Ανίχνευσης Επεισοδίου - Κοιλιακό
EPISODE_DETECTION_THERAPY_DETAILS	Λεπτομέρειες Ανίχνευσης και Θεραπείας Επεισοδίου
EPISODE_DURATION	Διάρκεια Επεισοδίου

Μετατροπή Δεδομένων Εμφυτευμένης Συσκευής σε Μηνύματα IDCO

Κατάσταση Μπαταρίας

Οι αντιστοιχίσεις παραμέτρων μπαταρίας στις καταστάσεις μπαταρίας BSC έχουν ως ακολούθως:

ΚΑΤΑΣΤΑΣΗ ΜΠΑΤΑΡΙΑΣ BSC	ΚΑΤΑΣΤΑΣΗ ΜΠΑΤΑΡΙΑΣ IDCO
BOL	BOS
OY	MOS
ERI	RRT
EOL	EOS

Όταν μια εμφυτεύσιμη συσκευή μεταβεί σε περιορισμένη τηλεμετρία, η κατάσταση της μπαταρίας της μπορεί να είναι ERI ή EOL. Αμφότερες οι καταστάσεις μπαταρίας οδηγούν στην εμφάνιση του ίδιου μηνύματος: ENUM_BATTERY_STATUS_RRT (ERI) στο MSMT_BATTERY_STATUS με τη χρονική ένδειξη ERI στο MSMT_BATTERY_DTM. Αυτή η κατάσταση ισχύει μόνο σε περιπτώσεις περιορισμένης τηλεμετρίας.

SET_BRADY_SENSOR_TYPE

Ο τύπος αισθητήρα θα αποστέλλεται όπως εμφανίζεται στον παρακάτω πίνακα.

ΑΠΟΣΤΕΛΛΟΜΕΝΗ ΤΙΜΗ ΓΙΑ ΤΗ ΜΕΤΑΒΛΗΤΗ SET_BRADY_SENSOR_TYPE ΒΑΣΕΙ ΤΗΣ ΡΥΘΜΙΣΗΣ ΤΗΣ ΕΜΦΥΤΕΥΜΕΝΗΣ ΣΥΣΚΕΥΗΣ	ΡΥΘΜΙΣΗ ΕΜΦΥΤΕΥΜΕΝΗΣ ΣΥΣΚΕΥΗΣ
«Accelerometer» (Επιταχυνσιόμετρο)	Μόνο επιταχυνσιόμετρο
«Minute Ventilation» (Αερισμός ανά Λεπτό)	Μόνο MV
«Accelerometer + MV» (Επιταχυνσιόμετρο + MV)	Επιταχυνσιόμετρο ό και MV

Οι παραπάνω τιμές θα αποστέλλονται μόνο εάν η συχνότητα μπορεί να καθοδηγηθεί από τον αισθητήρα, δηλαδή δεν αποστέλλονται εάν ο αισθητήρας είναι σε κατάσταση μόνο παρακολούθησης.

Οι παραπάνω τιμές θα αποστέλλονται εάν η συχνότητα μπορεί να καθοδηγηθεί σε τρόπο φυσιολογικής βραδυκαρδίας ή σε απόκριση σε κοιλιακή ταχυκαρδία, δηλαδή η τιμή δεν αντικατοπτρίζει τον τρόπο φυσιολογικής βραδυκαρδίας.

Λάβετε υπόψη ότι το μήνυμα «ATR Only» (Μόνο απόκριση σε κοιλιακή ταχυκαρδία) μπορεί να εμφανιστεί σε αναφορές όταν η λειτουργία απόκρισης σε κοιλιακή ταχυκαρδία βρίσκεται σε συχνοπροσαρμοζόμενο τρόπο λειτουργίας και ο τρόπος φυσιολογικής βραδυκαρδίας δεν είναι συχνοπροσαρμοζόμενος. Σε αυτήν την περίπτωση, το κείμενο (π.χ. «Accelerometer» (Επιταχυνσιόμετρο)) θα εξακολουθεί να αποστέλλεται για τον τρόπο λειτουργίας απόκρισης σε κοιλιακή ταχυκαρδία. Ο χρήστης μπορεί να ελέγξει τον τρόπο βραδυκαρδίας και τον τρόπο λειτουργίας απόκρισης σε κοιλιακή ταχυκαρδία και να προσδιορίσει ότι η απόκριση της συχνότητας αφορά μόνο την απόκριση σε κοιλιακή ταχυκαρδία.

Χαρτογράφηση Επεισοδίου

Τα επεισόδια, οι μετρητές κ.λπ. θα αποστέλλονται σε συναφείς πληροφορίες που περιέχονται στην ανάκτηση δεδομένων. Οι ίδιες πληροφορίες θα στέλλονται ως αρχικό πακέτο και ως επακόλουθη εκ νέου αποστολή, ακόμα και αν στο μεσοδιάστημα πραγματοποιούνται ανακτήσεις δεδομένων. Λάβετε υπόψη ότι η έξοδος EMR δεν θα συμφωνεί πάντα με την αναφορά Quick Notes, επειδή το Quick Notes εμφανίζει επεισόδια, συναγερούς και μετρητές από τον τελευταίο μηδενισμό. Τα επεισόδια αναπαριστώνται από έναν συνδυασμό κανονιστικών τύπων και τύπων για συγκεκριμένους παρόχους. Η αναπαράσταση ορισμένων τύπων επεισοδίων της Boston Scientific δεν μπορεί να γίνει με μοναδικό τρόπο με την τρέχουσα ονοματολογία IDCO.

ΑΝΑΓΝΩΡΙΣΤΙΚΟ ΕΠΕΙΣΟΔΙΟΥ BSC	ΤΥΠΟΣ ΕΠΕΙΣΟΔΙΟΥ BSC	ΚΑΝΟΝΙΣΤΙΚΟΣ ΤΥΠΟΣ ΕΠΕΙΣΟΔΙΟΥ IDCO	ΤΥΠΟΣ ΕΠΕΙΣΟΔΙΟΥ IDCO ΣΥΓΚΕΚΡΙΜΕΝΟΥ ΠΑΡΟΧΟΥ
V-x	VF (Κοιλιακή μαρμαρυγή)	VF	BSX-Zone_VF
V-x	VT (Κοιλιακή ταχυκαρδία)	VT	BSX-Epis_VT
V-x	VT (V>A) (Κοιλιακή ταχυκαρδία (V>A))	VT	BSX-Epis_VT
V-x	Tachy (Ταχυκαρδία)	Για συσκευές SSI, εάν η απαγωγή είναι στα: <ul style="list-style-type: none"> • V – VT • A – AT/AF • Μη καθορισμένο – VT 	Ηρεμία
V-x	NonSust (Μη εμμένον)	Για συσκευές SSI, εάν η απαγωγή είναι στα: <ul style="list-style-type: none"> • V – VT • A – AT/AF • Μη καθορισμένο – VT 	εάν A, ηρεμία άλλο BSX-Epis_NSVT
V-x	SVT (Υπερκοιλιακή ταχυκαρδία (V≤A))	SVT	BSX-Zone_SVT
V-x	VT-1	VT	BSX-Epis_VT-1
RMS-x	RMS (Αντιστροφή αλλαγής τρόπου λειτουργίας)	Άλλος	BSX-Epis_RMS
RYTHMIQ-x	RYTHMIQ	Άλλος	BSX-Epis_RMS
ATR-x	ATR (Απόκριση σε κολπική ταχυκαρδία)	ATAF	BSX-Epis_ATR
PMT-x	PMT (Ταχυκαρδία σχετιζόμενη με το βηματοδότη)	Άλλος	BSX-Epis_PMT
SBR-x	SBR (Ανταπόκριση σε αιφνίδια βραδυκαρδία)	Άλλος	Κανένας

ΑΝΑΓΝΩΡΙΣΤΙΚΟ ΕΠΕΙΣΟΔΙΟΥ BSC	ΤΥΠΟΣ ΕΠΕΙΣΟΔΙΟΥ BSC	ΚΑΝΟΝΙΣΤΙΚΟΣ ΤΥΠΟΣ ΕΠΕΙΣΟΔΙΟΥ IDCO	ΤΥΠΟΣ ΕΠΕΙΣΟΔΙΟΥ IDCO ΣΥΓΚΕΚΡΙΜΕΝΟΥ ΠΑΡΟΧΟΥ
PTM-x	PTM (Επεισόδιο του οποίου η έναρξη παρακολούθησης έγινε από τον ασθενή)	Ενεργοποίηση από τον ασθενή	BSX-Epis_PTМ
V-x	Cmd V (Κατ' εντολή κοιλιακή εκκένωση)	Άλλος	Κανένας
V-x	NonSustV (Μη εμμένουσα κοιλιακή)	VT	BSX-Epis_NSVT
APMRT-x	APM RT (Προηγμένη διαχείριση ασθενών σε πραγματικό χρόνο)	Περιοδικό ΗΓΜ	BSX-Epis_APMRT
RVAT-x	RV Auto (Αυτόματος ουδός δεξιάς κοιλίας)	Άλλος	Κανένας
RAAT-x	RV Auto (Αυτόματος ουδός δεξιού κόλπου)	Άλλος	Κανένας
LVAT-x	LV Auto (Αυτόματος ουδός αριστερής κοιλίας)	Άλλος	Κανένας
MRI-x	MRI (Μαγνητική τομογραφία)	Άλλος	Κανένας

Χαρτογράφηση Μετρητών

Η άθροιση ορισμένων μετρητών πραγματοποιείται πριν από την αποστολή του μηνύματος. Αυτό συμβαίνει επειδή προς το παρόν δεν είναι δυνατή η αναπαράσταση όλων των μετρητών της Boston Scientific στην ονοματολογία IDCO: Οι τιμές μετρητών που αποστέλλονται θα είναι από τον τελευταίο μηδενισμό και εφεξής.

ΜΕΤΡΗΤΗΣ ΕΠΕΙΣΟΔΙΩΝ BSC	ΣΤΑΤΙΣΤΙΚΑ ΣΤΟΙΧΕΙΑ IDCO - ΚΑΝΟΝΙΣΤΙΚΟΣ ΤΥΠΟΣ ΕΠΕΙΣΟΔΙΟΥ	ΣΤΑΤΙΣΤΙΚΑ ΣΤΟΙΧΕΙΑ IDCO - ΤΥΠΟΣ ΕΠΕΙΣΟΔΙΟΥ ΣΥΓΚΕΚΡΙΜΕΝΟΥ ΠΑΡΟΧΟΥ
VT (V>A) (Κοιλιακή ταχυκαρδία (V>A))	VT	BSX-Epis_VT
Tachy (Ταχυκαρδία)	VT	BSX-Epis_VT
NonSust (Μη εμμένον)	VT	BSX-Epis_NSVT

ΜΕΤΡΗΤΗΣ ΕΠΕΙΣΟΔΙΩΝ BSC	ΣΤΑΤΙΣΤΙΚΑ ΣΤΟΙΧΕΙΑ IDCO - ΚΑΝΟΝΙΣΤΙΚΟΣ ΤΥΠΟΣ ΕΠΕΙΣΟΔΙΟΥ	ΣΤΑΤΙΣΤΙΚΑ ΣΤΟΙΧΕΙΑ IDCO - ΤΥΠΟΣ ΕΠΕΙΣΟΔΙΟΥ ΣΥΓΚΕΚΡΙΜΕΝΟΥ ΠΑΡΟΧΟΥ
NonSustV (Μη εμμένουσα κοιλιακή)	VT	BSX-Epis_NSVT
SVT (Υπερκοιλιακή ταχυκαρδία) (V≤A)	SVT	BSX-Epis_SVT
ATR (Απόκριση σε κολπική ταχυκαρδία)	AT/AF	BSX-Epis_ATR
MRI (Μαγνητική τομογραφία)	Άλλος	Κανένας
VF (Κοιλιακή μαρμαρυγή)	VF	BSX-Epis_VF
VT (Κοιλιακή ταχυκαρδία)	VT	BSX-Epis_VT
VT-1	VT	BSX-Epis_VT-1
Cmd (Επεισόδιο κατ' εντολή)	Άλλος	Κανένας
No Therapy Programmed (Απουσία προγραμματισμένης θεραπείας)	Παρακολούθηση	Κανένας
Other Untreated (Άλλα επεισόδια απουσία θεραπείας)	Άλλος	Κανένας
RMS (Αντιστροφή αλλαγής τρόπου λειτουργίας)	Άλλος	BSX-Epis_RMS
ΡΥΘΜΙΩ	Άλλος	BSX-Epis_RMS
PMT (Ταχυκαρδία σχετιζόμενη με το βηματοδότη)	Άλλος	BSX-Epis_PMT
SBR (Ανταπόκριση σε αιφνίδια βραδυκαρδία)	Άλλος	Κανένας
PTM (Επεισόδιο του οποίου η έναρξη παρακολούθησης έγινε από τον ασθενή)	Ενεργοποίηση από τον ασθενή	BSX-Epis_PTM
APM RT (Προηγμένη διαχείριση ασθενών σε πραγματικό χρόνο)	Περιοδικό ΗΓΜ	BSX-Epis_APMRT
RV Auto (Αυτόματος ουδός δεξιού κόλπου)	Άλλος	Κανένας
RV Auto (Αυτόματος ουδός δεξιάς κοιλίας)	Άλλος	Κανένας
LV Auto (Αυτόματος ουδός αριστερής κοιλίας)	Άλλος	Κανένας

Χαρτογράφηση Διαμορφώσεων Απαγωγής

Ο παρακάτω πίνακας δείχνει πώς τα IDCO and BSC ορίζουν τις απαγωγές πολλαπλών ηλεκτροδίων. Τα περιεχόμενα αυτού του πίνακα δεν είναι εξαντλητικά, απλώς περιλαμβάνει μόνο απαριθμήσεις στοιχείων που ενδέχεται να μην είναι προφανή.

Οι ορισμοί που χρησιμοποιεί η BSC είναι σχεδιασμένα για να συνάδουν με τον Προγραμματιστή/Καταγραφέα/Ελεγκτή (ΠΚΕ) και τον ιστότοπο LATITUDE.

ΟΝΟΜΑ ΗΛΕΚΤΡΟΔΙΟΥ BSC	ΘΕΣΗ ΗΛΕΚΤΡΟΔΙΟΥ IDCO	ΟΝΟΜΑ ΗΛΕΚΤΡΟΔΙΟΥ IDCO
Περίβλημα	Άλλη	Περίβλημα
Άκρο αριστερής κοιλίας1	LV	Άκρο
Δακτύλιος αριστερής κοιλίας2	LV	Δακτύλιος1
Δακτύλιος αριστερής κοιλίας3	LV	Δακτύλιος2
Δακτύλιος αριστερής κοιλίας4	LV	Δακτύλιος3

Προς το παρόν, το MDC_IDCO_ENUM_ELECTRODE_LOCATION (θέση ανόδου/καθόδου βηματοδότησης/αίσθησης) δεν περιλαμβάνει απαρίθμηση για το θύλακα (π.χ. περίβλημα). Η θέση θα αποστέλλεται ως «άλλη» και το ηλεκτρόδιο ως «περίβλημα».

Η κατάσταση «έλεγχος απαγωγής» υποδεικνύει κάποιο πιθανό πρόβλημα με την απαγωγή. Ωστόσο, η απουσία της κατάστασης «έλεγχος απαγωγής» δεν υποδεικνύει ότι η απαγωγή λειτουργεί κανονικά. Θα αποστέλλεται η κατάσταση «έλεγχος απαγωγής» εάν υπάρχει κάποια από τις ακόλουθες ενδείξεις κατάστασης:

- Αλλαγή ασφαλείας απαγωγών
- Σύνθετη αντίσταση εκτός εύρους
- Ένταση εκτός εύρους
- Χαμηλή σύνθετη αντίσταση εκκένωσης
- Υψηλή σύνθετη αντίσταση εκκένωσης
- Υψηλή τάση κατά τη φόρτιση

Για το MSMT_LEADCHNL_[CHAMBER] (δηλαδή μετρήσεις καναλιού όπως ενδογενής ένταση, σύνθετη αντίσταση απαγωγής, ουδός βηματοδότησης), μόνο ένα εύρος χρονικών ενδείξεων είναι δυνατό για όλες τις μετρήσεις (δηλαδή όχι ένα εύρος ανά μέτρηση) στην τρέχουσα ονοματολογία IDCO. Εάν οι ώρες μέτρησης διαφέρουν, θα αποστέλλεται ένα εύρος χρονικών ενδείξεων (δηλαδή MIN, MAX) που θα συμπεριλαμβάνει την ώρα όλων των μετρήσεων. Επιπλέον, οι τιμές που θα αποστέλλονται θα είναι τιμή IDCO MEAN σύμφωνα με την ονοματολογία IDCO. Ωστόσο, οι τιμές αποτελούν μεμονωμένες μετρήσεις και δεν είναι μέσες τιμές εντός του εύρους χρονικών ενδείξεων.

Περιορισμοί του Συστήματος

- Οι έξοδοι που αφορούν συγκεκριμένα την ταχυκαρδία και τις κοιλότητες είναι όσο το δυνατόν πιο ακριβείς. Ωστόσο, σε ορισμένες περιπτώσεις, η βαρύτητα της αποστολής των δεδομένων και το γεγονός ότι το IDCO δεν μπορεί να αναπαραστήσει ορισμένες παραμέτρους εγγυάται την αποστολή των δεδομένων ανεξαρτήτως συνθηκών. Για παράδειγμα, οι πληροφορίες της ζώνης VT αποστέλλονται όπως εάν οι συσκευές βραδυκαρδίας είχαν ζώνη VT.
- Για συσκευές που δεν διαθέτουν αυτόματο ουδό βηματοδότησης (λειτουργία αυτόματου ουδού), θα αποστέλλεται η τελευταία μέτρηση ουδού στο ιατρείο.

- Η σωστή αναφορά των δεδομένων της εμφυτευμένης συσκευής και των ειδοποιήσεων συναγερμού από το σύστημα LATITUDE NXT εξαρτάται από τον ακριβή προγραμματισμό του ρολογιού της εμφυτευμένης συσκευής με έναν Προγραμματιστή/Καταγραφέα/Ελεγκτή (ΠΚΕ). Η σωστή αναφορά ενδέχεται να συνεχίσει να επηρεάζεται για κάποιο χρονικό διάστημα μετά τον σωστό προγραμματισμό του ρολογιού της εμφυτευμένης συσκευής, ανάλογα με την ποσότητα των δεδομένων που λαμβάνονται με μη ακριβείς πληροφορίες χρόνου και τη χρονική διαφορά του σφάλματος στο ρολόι της εμφυτευμένης συσκευής.
- Οι συμβολοσειρές θα αποστέλλονται στη γλώσσα που έχει διαμορφωθεί για την εκάστοτε κλινική στο LATITUDE.

Ορισμοί Συναγερμών και Προειδοποιήσεων

Τα μηνύματα προειδοποίησης και συναγερμού περιλαμβάνονται στο μήνυμα ως σημειώσεις που ενδέχεται να εμφανίζονται ή να μην εμφανίζονται σε ένα EMR. Στο μήνυμα συμπεριλαμβάνεται μια προειδοποίηση ή ένας συναγερμός εάν τα δεδομένα που μεταφορτώθηκαν από την PG οδήγησαν στην εκδήλωση της προειδοποίησης ή του συναγερμού.

Αναφορές

Αναφορά Αναπαράστασης ΗΓΜ

Εάν είναι διαθέσιμη στον όγκο δεδομένων που παραλαμβάνεται από την PG, η Αναφορά Αναπαράστασης ΗΓΜ επισυνάπτεται στο μήνυμα ως αρχείο PDF και συσχετίζεται με το αντίστοιχο επεισόδιο APMRT χρησιμοποιώντας το αναγνωριστικό ομάδας (OBX-4) για το επεισόδιο APMRT.

Αναφορά Συνδυασμένης Παρακολούθησης

Στο μήνυμα επισυνάπτεται μια Αναφορά Συνδυασμένης Παρακολούθησης ως αρχείο PDF.

Παράδειγμα Αρχείου IDCO

Το παρακάτω παράδειγμα αρχείου IDCO δείχνει πώς ενδέχεται να είναι η εμφάνιση ενός μηνύματος IDCO LATITUDE. Αυτό αποτελεί μόνο ένα παράδειγμα εκ των πολλών πιθανών εμφανίσεων. Τα δεδομένα στο παράδειγμα μηνύματος είναι υποθετικά και δεν αναπαριστώνται όλοι οι όροι IDCO του LATITUDE.

```
MSH|^~\&|LATITUDE|BOSTON SCIENTIFIC||TestClinic|201305092136+0000||ORU^R01^ORU_R01
|0|P|2.6|||UNICODE UTF-8|en^English||IHE_PCD_009^IHE_PCD
^1.3.6.1.4.1.19376.1.6.1.9.1^ISO
PID|1||model:N119/serial:900141^^^BSX^U||testLastName^testName^^^^^I
~testAuxLName^testAuxFName^^^^^P||19680215|U
PV1|1|R
PV2|1||TestDeviceGroup^^1
OBR|1||1000000916|754054^MDC_IDC_ENUM_SESS_TYPE_RemotePatientInitiated
^MDC||201001151330-0500|||F
NTE|1||Feb 02, 2012 00:00 - Yellow Alert - Atrial Arrhythmia Burden of at least 3.0 hours
in a 24 hour period.
NTE|2||Feb 02, 2012 00:00 - Yellow Alert - Atrial Arrhythmia Burden of at least 3.0 hours
in a 24 hour period between Jan 11, 2010 23:00 and Jan 12, 2010 00:00.
NTE|3||Feb 02, 2012 00:00 - Yellow Alert - Cardiac Resynchronization Therapy pacing of
< 1%. Pacing was 2% between Jan 11, 2010 23:00 and Jan 12, 2010 00:00.
NTE|4||Feb 02, 2012 00:00 - Yellow Alert - Right ventricular pacing of > 1%. Pacing was
2% between Jan 11, 2010 23:00 and Jan 12, 2010 00:00.
NTE|5||Feb 02, 2012 00:00 - Yellow Alert - Patient triggered event stored.
NTE|6||Feb 02, 2012 00:00 - Yellow Alert - Weight gain of at least 5 lb. in a week or at
least 2 lb. average over a two or more day period.
NTE|7||Feb 02, 2012 00:00 - Yellow Alert - Weight loss of at least 5 lb. in a week or at
least 2 lb. average over a two or more day period.
NTE|8||Feb 02, 2012 00:00 - Yellow Alert - Explant indicator reached on Jan 12, 2010
00:00. Schedule replacement of this device.
NTE|9||Feb 02, 2012 00:00 - Yellow Alert - Voltage was too low for projected remaining
capacity.
NTE|10||Feb 02, 2012 00:00 - Red Alert - Remote monitoring disabled on Jan 12, 2010 00:00
due to limited battery capacity (Explant indicator reached on Feb 12, 2010 00:00).
NTE|11||Feb 02, 2012 00:00 - Yellow Alert - Therapy history corruption detected.
Previously stored therapy history data has been deleted.
NTE|12||Feb 02, 2012 00:00 - Red Alert - Possible device malfunction (Fault Code 1011).
NTE|13||Feb 02, 2012 00:00 - Red Alert - Possible device malfunction (Fault Code 1007).
NTE|14||Feb 02, 2012 00:00 - Red Alert - Possible device malfunction (Fault Code 1009).
NTE|15||Feb 02, 2012 00:00 - Red Alert - Device is in Safety Mode. For patient protection
the device has been switched to Safety Mode.
NTE|16||Feb 02, 2012 00:00 - Yellow Alert - Right ventricular automatic threshold
detected as > programmed amplitude or suspended.
NTE|17||Feb 02, 2012 00:00 - Yellow Alert - Atrial automatic threshold detected as >
programmed amplitude or suspended.
NTE|18||Feb 02, 2012 00:00 - Red Alert - Shock lead impedance out of range.
NTE|19||Feb 02, 2012 00:00 - Red Alert - Low shock lead impedance detected when attempting
to deliver a shock.
NTE|20||Feb 02, 2012 00:00 - Red Alert - High shock lead impedance detected when
attempting to deliver a shock.
NTE|21||Feb 02, 2012 00:00 - Red Alert - High voltage detected on shock lead during
charge.
NTE|22||Feb 02, 2012 00:00 - Red Alert - Electrocautery Protection is active.
NTE|23||Feb 02, 2012 00:00 - Yellow Alert - VT Episode occurred (V>A).
NTE|24||Feb 02, 2012 00:00 - Yellow Alert - Device Brady Mode is Off. Brady therapy will
not be delivered.
NTE|25||Feb 02, 2012 00:00 - Yellow Alert - Left ventricular pacing lead impedance out
of range.
NTE|26||Feb 02, 2012 00:00 - Yellow Alert - Atrial pacing lead impedance out of range.
NTE|27||Feb 02, 2012 00:00 - Yellow Alert - Right ventricular intrinsic amplitude out of
range.
NTE|28||Feb 02, 2012 00:00 - Yellow Alert - Intrinsic amplitude out of range.
NTE|29||Feb 02, 2012 00:00 - Yellow Alert - Left ventricular intrinsic amplitude out of
range.
```

NTE|30||Feb 02, 2012 00:00 - Yellow Alert - Atrial intrinsic amplitude out of range.
 NTE|31||Feb 02, 2012 00:00 - Red Alert - Right ventricular pacing lead impedance out of range.
 NTE|32||Feb 02, 2012 00:00 - Red Alert - Pacing lead impedance out of range.
 NTE|33||Feb 02, 2012 00:00 - Yellow Alert - Ventricular shock therapy delivered to convert arrhythmia.
 NTE|34||Feb 02, 2012 00:00 - Yellow Alert - Accelerated ventricular arrhythmia episode.
 NTE|35||Feb 02, 2012 00:00 - Red Alert - V-Tachy mode set to value other than Monitor + Therapy.
 NTE|36||Feb 02, 2012 00:00 - Red Alert - Lead Check notification due to abrupt change in right ventricular pacing lead impedance in the past 7 days.
 NTE|37||Feb 02, 2012 00:00 - Red Alert - Lead Check notification due to episode with potential right ventricular non-physiologic signal.
 NTE|38||Feb 02, 2012 00:00 - Yellow Alert - Left ventricular automatic threshold detected as > programmed amplitude or suspended.
 OBX|1|ST|739536^MDC_IDC_EPISODE_ID^MDC|1|MRI-16|||||F
 OBX|2|DTM|739552^MDC_IDC_EPISODE_DTM^MDC|1|200101020304|||||F
 OBX|3|CWE|739568^MDC_IDC_EPISODE_TYPE^MDC|1|754888
 ^MDC_IDC_ENUM_EPISODE_TYPE_Epis_Other^MDC|||||F
 OBX|4|CWE|739600^MDC_IDC_EPISODE_VENDOR_TYPE^MDC|1|||||F
 OBX|5|NM|739712^MDC_IDC_EPISODE_DURATION^MDC|1|100|s|||||F
 OBX|6|ST|739680^MDC_IDC_EPISODE_DETECTION_THERAPY_DETAILS
 ^MDC|1|MRI Protection Mode|||||F
 OBX|7|ST|739536^MDC_IDC_EPISODE_ID^MDC|2|LVAT-15|||||F
 OBX|8|DTM|739552^MDC_IDC_EPISODE_DTM^MDC|2|200101020304|||||F
 OBX|9|CWE|739568^MDC_IDC_EPISODE_TYPE^MDC|2|754888
 ^MDC_IDC_ENUM_EPISODE_TYPE_Epis_Other^MDC|||||F
 OBX|10|CWE|739600^MDC_IDC_EPISODE_VENDOR_TYPE^MDC|2|||||F
 OBX|11|NM|739712^MDC_IDC_EPISODE_DURATION^MDC|2|100|s|||||F
 OBX|12|ST|739680^MDC_IDC_EPISODE_DETECTION_THERAPY_DETAILS^MDC|2|LV Auto|||||F
 OBX|13|ST|739536^MDC_IDC_EPISODE_ID^MDC|3|RVAT-14|||||F
 OBX|14|DTM|739552^MDC_IDC_EPISODE_DTM^MDC|3|200101020304|||||F
 OBX|15|CWE|739568^MDC_IDC_EPISODE_TYPE^MDC|3|754888
 ^MDC_IDC_ENUM_EPISODE_TYPE_Epis_Other^MDC|||||F
 OBX|16|CWE|739600^MDC_IDC_EPISODE_VENDOR_TYPE^MDC|3|||||F
 OBX|17|NM|739712^MDC_IDC_EPISODE_DURATION^MDC|3|100|s|||||F
 OBX|18|ST|739680^MDC_IDC_EPISODE_DETECTION_THERAPY_DETAILS^MDC|3|RV Auto|||||F
 OBX|19|ST|739536^MDC_IDC_EPISODE_ID^MDC|4|APM-13|||||F
 OBX|20|DTM|739552^MDC_IDC_EPISODE_DTM^MDC|4|200101020304|||||F
 OBX|21|CWE|739568^MDC_IDC_EPISODE_TYPE^MDC|4|754888
 ^MDC_IDC_ENUM_EPISODE_TYPE_Epis_PeriodicEGM^MDC|||||F
 OBX|22|CWE|739600^MDC_IDC_EPISODE_VENDOR_TYPE^MDC|4|771085
 ^MDC_IDC_ENUM_EPISODE_VENDOR_TYPE_BSX-Epis_APMRT^MDC|||||F
 OBX|23|ST|739680^MDC_IDC_EPISODE_DETECTION_THERAPY_DETAILS^MDC|4|Presenting EGM|||||F
 OBX|24|ST|739536^MDC_IDC_EPISODE_ID^MDC|5|PTM-12|||||F
 OBX|25|DTM|739552^MDC_IDC_EPISODE_DTM^MDC|5|200101020304|||||F
 OBX|26|CWE|739568^MDC_IDC_EPISODE_TYPE^MDC|5|754888
 ^MDC_IDC_ENUM_EPISODE_TYPE_Epis_PatientActivated^MDC|||||F
 OBX|27|CWE|739600^MDC_IDC_EPISODE_VENDOR_TYPE^MDC|5|771080
 ^MDC_IDC_ENUM_EPISODE_VENDOR_TYPE_BSX-Epis_PTM^MDC|||||F
 OBX|28|NM|739648^MDC_IDC_EPISODE_VENTRICULAR_INTERVAL_AT_DETECTION
 ^MDC|5|30000|ms|||||F
 OBX|29|NM|739712^MDC_IDC_EPISODE_DURATION^MDC|5|100|s|||||F
 OBX|30|ST|739680^MDC_IDC_EPISODE_DETECTION_THERAPY_DETAILS^MDC|5|PTM|||||F
 OBX|31|ST|739536^MDC_IDC_EPISODE_ID^MDC|6|RAAT-11|||||F
 OBX|32|DTM|739552^MDC_IDC_EPISODE_DTM^MDC|6|200101020304|||||F
 OBX|33|CWE|739568^MDC_IDC_EPISODE_TYPE^MDC|6|754888
 ^MDC_IDC_ENUM_EPISODE_TYPE_Epis_Other^MDC|||||F
 OBX|34|CWE|739600^MDC_IDC_EPISODE_VENDOR_TYPE^MDC|6|||||F
 OBX|35|NM|739712^MDC_IDC_EPISODE_DURATION^MDC|6|100|s|||||F
 OBX|36|ST|739680^MDC_IDC_EPISODE_DETECTION_THERAPY_DETAILS^MDC|6|RA Auto|||||F
 OBX|37|ST|739536^MDC_IDC_EPISODE_ID^MDC|7|RYTHMIQ-10|||||F
 OBX|38|DTM|739552^MDC_IDC_EPISODE_DTM^MDC|7|200101020304|||||F
 OBX|39|CWE|739568^MDC_IDC_EPISODE_TYPE^MDC|7|754888
 ^MDC_IDC_ENUM_EPISODE_TYPE_Epis_Other^MDC|||||F

OBX|40|CWE|739600^MDC_IDC_EPISODE_VENDOR_TYPE^MDC|7|771084
 ^MDC_IDC_ENUM_EPISODE_VENDOR_TYPE_BSX-Epis_RMS^MDC|||||F
 OBX|41|NM|739648
 ^MDC_IDC_EPISODE_VENTRICULAR_INTERVAL_AT_DETECTION^MDC|7|30000|ms|||||F
 OBX|42|NM|739712^MDC_IDC_EPISODE_DURATION^MDC|7|100|s|||||F
 OBX|43|ST|739680^MDC_IDC_EPISODE_DETECTION_THERAPY_DETAILS^MDC|7|RYTHMIQ|||||F
 OBX|44|ST|739536^MDC_IDC_EPISODE_ID^MDC|8|RMS-9|||||F
 OBX|45|DTM|739552^MDC_IDC_EPISODE_DTM^MDC|8|200101020304|||||F
 OBX|46|CWE|739568^MDC_IDC_EPISODE_TYPE
 ^MDC|8|754888^MDC_IDC_ENUM_EPISODE_TYPE_Epis_Other^MDC|||||F
 OBX|47|CWE|739600^MDC_IDC_EPISODE_VENDOR_TYPE^MDC|8|771084
 ^MDC_IDC_ENUM_EPISODE_VENDOR_TYPE_BSX-Epis_RMS^MDC|||||F
 OBX|48|NM|739648
 ^MDC_IDC_EPISODE_VENTRICULAR_INTERVAL_AT_DETECTION^MDC|8|30000|ms|||||F
 OBX|49|NM|739712^MDC_IDC_EPISODE_DURATION^MDC|8|100|s|||||F
 OBX|50|ST|739680^MDC_IDC_EPISODE_DETECTION_THERAPY_DETAILS^MDC|8|RMS|||||F
 OBX|51|ST|739536^MDC_IDC_EPISODE_ID^MDC|9|V-8|||||F
 OBX|52|DTM|739552^MDC_IDC_EPISODE_DTM^MDC|9|200101020304|||||F
 OBX|53|CWE|739568^MDC_IDC_EPISODE_TYPE
 ^MDC|9|754881^MDC_IDC_ENUM_EPISODE_TYPE_Epis_VF^MDC|||||F
 OBX|54|CWE|739600^MDC_IDC_EPISODE_VENDOR_TYPE
 ^MDC|9|771073^MDC_IDC_ENUM_EPISODE_VENDOR_TYPE_BSX-Epis_VF^MDC|||||F
 OBX|55|CWE|739584^MDC_IDC_EPISODE_TYPE_INDUCED^MDC|9|755329
 ^MDC_IDC_ENUM_EPISODE_TYPE_INDUCED_YES^MDC|||||F
 OBX|56|NM|739648
 ^MDC_IDC_EPISODE_VENTRICULAR_INTERVAL_AT_DETECTION^MDC|9|30000|ms|||||F
 OBX|57|NM|739712^MDC_IDC_EPISODE_DURATION^MDC|9|100|s|||||F
 OBX|58|ST|739680
 ^MDC_IDC_EPISODE_DETECTION_THERAPY_DETAILS^MDC|9|VF ATPx1, 0.1J, 0.2J, 31Jx2|||||F
 OBX|59|ST|739536^MDC_IDC_EPISODE_ID^MDC|10|PMT-7|||||F
 OBX|60|DTM|739552^MDC_IDC_EPISODE_DTM^MDC|10|200101020304|||||F
 OBX|61|CWE|739568^MDC_IDC_EPISODE_TYPE^MDC|10|754888
 ^MDC_IDC_ENUM_EPISODE_TYPE_Epis_Other^MDC|||||F
 OBX|62|CWE|739600^MDC_IDC_EPISODE_VENDOR_TYPE^MDC|10|771079
 ^MDC_IDC_ENUM_EPISODE_VENDOR_TYPE_BSX-Epis_PMT^MDC|||||F
 OBX|63|NM|739648^MDC_IDC_EPISODE_VENTRICULAR_INTERVAL_AT_DETECTION
 ^MDC|10|30000|ms|||||F
 OBX|64|NM|739712^MDC_IDC_EPISODE_DURATION^MDC|10|100|s|||||F
 OBX|65|ST|739680^MDC_IDC_EPISODE_DETECTION_THERAPY_DETAILS^MDC|10|PMT|||||F
 OBX|66|ST|739536^MDC_IDC_EPISODE_ID^MDC|11|V-6|||||F
 OBX|67|DTM|739552^MDC_IDC_EPISODE_DTM^MDC|11|200101020304|||||F
 OBX|68|CWE|739568^MDC_IDC_EPISODE_TYPE^MDC|11|754882
 ^MDC_IDC_ENUM_EPISODE_TYPE_Epis_VT^MDC|||||F
 OBX|69|CWE|739600^MDC_IDC_EPISODE_VENDOR_TYPE^MDC|11|771075
 ^MDC_IDC_ENUM_EPISODE_VENDOR_TYPE_BSX-Epis_VT-1^MDC|||||F
 OBX|70|CWE|739584^MDC_IDC_EPISODE_TYPE_INDUCED^MDC|11|755329
 ^MDC_IDC_ENUM_EPISODE_TYPE_INDUCED_YES^MDC|||||F
 OBX|71|NM|739648^MDC_IDC_EPISODE_VENTRICULAR_INTERVAL_AT_DETECTION
 ^MDC|11|30000|ms|||||F
 OBX|72|NM|739712^MDC_IDC_EPISODE_DURATION^MDC|11|100|s|||||F
 OBX|73|ST|739680^MDC_IDC_EPISODE_DETECTION_THERAPY_DETAILS
 ^MDC|11|VT-1 ATPx1, 0.1J, 0.2J, 31Jx2|||||F
 OBX|74|ST|739536^MDC_IDC_EPISODE_ID^MDC|12|ATR-5|||||F
 OBX|75|DTM|739552^MDC_IDC_EPISODE_DTM^MDC|12|200101020304|||||F
 OBX|76|CWE|739568^MDC_IDC_EPISODE_TYPE^MDC|12|754883
 ^MDC_IDC_ENUM_EPISODE_TYPE_Epis_ATAF^MDC|||||F
 OBX|77|CWE|739600^MDC_IDC_EPISODE_VENDOR_TYPE^MDC|12|771078
 ^MDC_IDC_ENUM_EPISODE_VENDOR_TYPE_BSX-Epis_ATR^MDC|||||F
 OBX|78|NM|739616^MDC_IDC_EPISODE_atrial_INTERVAL_AT_DETECTION^MDC|12|20000|ms|||||F
 OBX|79|NM|739712^MDC_IDC_EPISODE_DURATION^MDC|12|100|s|||||F
 OBX|80|ST|739680^MDC_IDC_EPISODE_DETECTION_THERAPY_DETAILS^MDC|12|ATR|||||F
 OBX|81|ST|739536^MDC_IDC_EPISODE_ID^MDC|13|V-4|||||F
 OBX|82|DTM|739552^MDC_IDC_EPISODE_DTM^MDC|13|200101020304|||||F
 OBX|83|CWE|739568^MDC_IDC_EPISODE_TYPE^MDC|13|754882
 ^MDC_IDC_ENUM_EPISODE_TYPE_Epis_VT^MDC|||||F

OBX|84|CWE|739600^MDC_IDC_EPISODE_VENDOR_TYPE^MDC|13|771077
 ^MDC_IDC_ENUM_EPISODE_VENDOR_TYPE_Bsx-Epis_NSVT^MDC|||||F
 OBX|85|CWE|739584^MDC_IDC_EPISODE_TYPE_INDUCED^MDC|13|755329
 ^MDC_IDC_ENUM_EPISODE_TYPE_INDUCED_YES^MDC|||||F
 OBX|86|NM|739648^MDC_IDC_EPISODE_VENTRICULAR_INTERVAL_AT_DETECTION
 ^MDC|13|30000|ms|||||F
 OBX|87|NM|739712^MDC_IDC_EPISODE_DURATION^MDC|13|100|s|||||F
 OBX|88|ST|739680^MDC_IDC_EPISODE_DETECTION_THERAPY_DETAILS^MDC|13|NonSustV|||||F
 OBX|89|ST|739536^MDC_IDC_EPISODE_ID^MDC|14|V-3|||||F
 OBX|90|DTM|739552^MDC_IDC_EPISODE_DTM^MDC|14|200101020304|||||F
 OBX|91|CWE|739568^MDC_IDC_EPISODE_TYPE^MDC|14|754882
 ^MDC_IDC_ENUM_EPISODE_TYPE_Epis_VT^MDC|||||F
 OBX|92|CWE|739600^MDC_IDC_EPISODE_VENDOR_TYPE^MDC|14|771074
 ^MDC_IDC_ENUM_EPISODE_VENDOR_TYPE_Bsx-Epis_VT^MDC|||||F
 OBX|93|CWE|739584^MDC_IDC_EPISODE_TYPE_INDUCED^MDC|14|755329
 ^MDC_IDC_ENUM_EPISODE_TYPE_INDUCED_YES^MDC|||||F
 OBX|94|NM|739648^MDC_IDC_EPISODE_VENTRICULAR_INTERVAL_AT_DETECTION
 ^MDC|14|30000|ms|||||F
 OBX|95|NM|739712^MDC_IDC_EPISODE_DURATION^MDC|14|100|s|||||F
 OBX|96|ST|739680^MDC_IDC_EPISODE_DETECTION_THERAPY_DETAILS
 ^MDC|14|VT ATPx1, 0.1J, 0.2J, 31Jx2|||||F
 OBX|97|ST|739536^MDC_IDC_EPISODE_ID^MDC|15|SBR-2|||||F
 OBX|98|DTM|739552^MDC_IDC_EPISODE_DTM^MDC|15|200101020304|||||F
 OBX|99|CWE|739568^MDC_IDC_EPISODE_TYPE^MDC|15|754888
 ^MDC_IDC_ENUM_EPISODE_TYPE_Epis_Other^MDC|||||F
 OBX|100|CWE|739600^MDC_IDC_EPISODE_VENDOR_TYPE^MDC|15|||||F
 OBX|101|NM|739616^MDC_IDC_EPISODE_ATRIAL_INTERVAL_AT_DETECTION^MDC|15|20000|ms|||||F
 OBX|102|NM|739712^MDC_IDC_EPISODE_DURATION^MDC|15|100|s|||||F
 OBX|103|ST|739680^MDC_IDC_EPISODE_DETECTION_THERAPY_DETAILS^MDC|15|SBR|||||F
 OBX|104|ST|739536^MDC_IDC_EPISODE_ID^MDC|16|V-1|||||F
 OBX|105|DTM|739552^MDC_IDC_EPISODE_DTM^MDC|16|200101020304|||||F
 OBX|106|CWE|739568^MDC_IDC_EPISODE_TYPE^MDC|16|754888
 ^MDC_IDC_ENUM_EPISODE_TYPE_Epis_Other^MDC|||||F
 OBX|107|CWE|739600^MDC_IDC_EPISODE_VENDOR_TYPE^MDC|16|||||F
 OBX|108|CWE|739584^MDC_IDC_EPISODE_TYPE_INDUCED^MDC|16|755329
 ^MDC_IDC_ENUM_EPISODE_TYPE_INDUCED_YES^MDC|||||F
 OBX|109|NM|739648^MDC_IDC_EPISODE_VENTRICULAR_INTERVAL_AT_DETECTION
 ^MDC|16|30000|ms|||||F
 OBX|110|NM|739712^MDC_IDC_EPISODE_DURATION^MDC|16|100|s|||||F
 OBX|111|ST|739680^MDC_IDC_EPISODE_DETECTION_THERAPY_DETAILS
 ^MDC|16|Cmd V Therapy Delivered|||||F
 OBX|112|ED|18750-0^Cardiac Electrophysiology Report^LN|Application^PDF^
 ^Base64^{encoded PDF included here}|||||F||201001151330-0500
 OBX|113|ED|18750-0^Cardiac Electrophysiology Report^LN|4|Application^PDF^
 ^Base64^{encoded PDF included here}|||||F||201001151330-0500
 OBX|114|CWE|720897^MDC_IDC_DEV_TYPE^MDC||753665^MDC_IDC_ENUM_DEV_TYPE_IPG^MDC|||||F
 OBX|115|ST|720898^MDC_IDC_DEV_MODEL^MDC||N119|||||F
 OBX|116|ST|720899^MDC_IDC_DEV_SERIAL^MDC||900141|||||F
 OBX|117|CWE|720900^MDC_IDC_DEV_MFG^MDC||753732^MDC_IDC_ENUM_MFG_Bsx^MDC|||||F
 OBX|118|DTM|720901^MDC_IDC_DEV_IMPLANT_DT^MDC||20120513|||||F
 OBX|119|ST|720961^MDC_IDC_LEAD_MODEL^MDC|1|12345|||||F
 OBX|120|ST|720962^MDC_IDC_LEAD_SERIAL^MDC|1|6789|||||F
 OBX|121|CWE|720963^MDC_IDC_LEAD_MFG^MDC|1|753731^MDC_IDC_ENUM_MFG_BIO^MDC|||||F
 OBX|122|CWE|720965^MDC_IDC_LEAD_POLARITY_TYPE^MDC|1|753793
 ^MDC_IDC_ENUM_LEAD_POLARITY_TYPE_UNI^MDC|||||F
 OBX|123|DTM|720964^MDC_IDC_LEAD_IMPLANT_DT^MDC|1|201205|||||F
 OBX|124|CWE|720966^MDC_IDC_LEAD_LOCATION^MDC|1|753858
 ^MDC_IDC_ENUM_LEAD_LOCATION_CHAMBER_LV^MDC|||||F
 OBX|125|CWE|720967^MDC_IDC_LEAD_LOCATION_DETAIL_1
 ^MDC|1|753922^MDC_IDC_ENUM_LEAD_LOCATION_DETAIL_Apex^MDC|||||F
 OBX|126|CWE|720968^MDC_IDC_LEAD_LOCATION_DETAIL_2^MDC|1|753925
 ^MDC_IDC_ENUM_LEAD_LOCATION_DETAIL_VenaCava^MDC|||||F
 OBX|127|ST|720961^MDC_IDC_LEAD_MODEL^MDC|2|12345|||||F
 OBX|128|ST|720962^MDC_IDC_LEAD_SERIAL^MDC|2|6789|||||F
 OBX|129|CWE|720963^MDC_IDC_LEAD_MFG^MDC|2|753731^MDC_IDC_ENUM_MFG_BIO^MDC|||||F

OBX|130|CWE|720965^MDC_IDC_LEAD_POLARITY_TYPE^MDC|2|753793
 ^MDC_IDC_ENUM_LEAD_POLARITY_TYPE_UNI^MDC|||||F
 OBX|131|DTM|720964^MDC_IDC_LEAD_IMPLANT_DT^MDC|2|201205|||||F
 OBX|132|CWE|720966^MDC_IDC_LEAD_LOCATION^MDC|2|753858
 ^MDC_IDC_ENUM_LEAD_LOCATION_CHAMBER_LV^MDC|||||F
 OBX|133|CWE|720967^MDC_IDC_LEAD_LOCATION_DETAIL_1^MDC|2|753922
 ^MDC_IDC_ENUM_LEAD_LOCATION_DETAIL_Apex^MDC|||||F
 OBX|134|CWE|720968^MDC_IDC_LEAD_LOCATION_DETAIL_2^MDC|2|753925
 ^MDC_IDC_ENUM_LEAD_LOCATION_DETAIL_VenaCava^MDC|||||F
 OBX|135|ST|720961^MDC_IDC_LEAD_MODEL^MDC|3|12345|||||F
 OBX|136|ST|720962^MDC_IDC_LEAD_SERIAL^MDC|3|6789|||||F
 OBX|137|CWE|720963^MDC_IDC_LEAD_MFG^MDC|3|753731^MDC_IDC_ENUM_MFG_BIO^MDC|||||F
 OBX|138|CWE|720965^MDC_IDC_LEAD_POLARITY_TYPE^MDC|3|753793
 ^MDC_IDC_ENUM_LEAD_POLARITY_TYPE_UNI^MDC|||||F
 OBX|139|DTM|720964^MDC_IDC_LEAD_IMPLANT_DT^MDC|3|201205|||||F
 OBX|140|CWE|720966^MDC_IDC_LEAD_LOCATION^MDC|3|753858
 ^MDC_IDC_ENUM_LEAD_LOCATION_CHAMBER_LV^MDC|||||F
 OBX|141|CWE|720967^MDC_IDC_LEAD_LOCATION_DETAIL_1^MDC|3|753922
 ^MDC_IDC_ENUM_LEAD_LOCATION_DETAIL_Apex^MDC|||||F
 OBX|142|CWE|720968^MDC_IDC_LEAD_LOCATION_DETAIL_2^MDC|3|753925
 ^MDC_IDC_ENUM_LEAD_LOCATION_DETAIL_VenaCava^MDC|||||F
 OBX|143|ST|720961^MDC_IDC_LEAD_MODEL^MDC|4|12345|||||F
 OBX|144|ST|720962^MDC_IDC_LEAD_SERIAL^MDC|4|6789|||||F
 OBX|145|CWE|720963^MDC_IDC_LEAD_MFG^MDC|4|753731^MDC_IDC_ENUM_MFG_BIO^MDC|||||F
 OBX|146|CWE|720965^MDC_IDC_LEAD_POLARITY_TYPE^MDC|4|753793
 ^MDC_IDC_ENUM_LEAD_POLARITY_TYPE_UNI^MDC|||||F
 OBX|147|DTM|720964^MDC_IDC_LEAD_IMPLANT_DT^MDC|4|201205|||||F
 OBX|148|CWE|720966^MDC_IDC_LEAD_LOCATION^MDC|4|753858
 ^MDC_IDC_ENUM_LEAD_LOCATION_CHAMBER_LV^MDC|||||F
 OBX|149|CWE|720967^MDC_IDC_LEAD_LOCATION_DETAIL_1^MDC|4|753922
 ^MDC_IDC_ENUM_LEAD_LOCATION_DETAIL_Apex^MDC|||||F
 OBX|150|CWE|720968^MDC_IDC_LEAD_LOCATION_DETAIL_2^MDC|4|753925
 ^MDC_IDC_ENUM_LEAD_LOCATION_DETAIL_VenaCava^MDC|||||F
 OBX|151|ST|720961^MDC_IDC_LEAD_MODEL^MDC|5|12345|||||F
 OBX|152|ST|720962^MDC_IDC_LEAD_SERIAL^MDC|5|6789|||||F
 OBX|153|CWE|720963^MDC_IDC_LEAD_MFG^MDC|5|753731^MDC_IDC_ENUM_MFG_BIO^MDC|||||F
 OBX|154|CWE|720965^MDC_IDC_LEAD_POLARITY_TYPE^MDC|5|753793
 ^MDC_IDC_ENUM_LEAD_POLARITY_TYPE_UNI^MDC|||||F
 OBX|155|DTM|720964^MDC_IDC_LEAD_IMPLANT_DT^MDC|5|201205|||||F
 OBX|156|CWE|720966^MDC_IDC_LEAD_LOCATION^MDC|5|753858
 ^MDC_IDC_ENUM_LEAD_LOCATION_CHAMBER_LV^MDC|||||F
 OBX|157|CWE|720967^MDC_IDC_LEAD_LOCATION_DETAIL_1^MDC|5|753922
 ^MDC_IDC_ENUM_LEAD_LOCATION_DETAIL_Apex^MDC|||||F
 OBX|158|CWE|720968^MDC_IDC_LEAD_LOCATION_DETAIL_2^MDC|5|753925
 ^MDC_IDC_ENUM_LEAD_LOCATION_DETAIL_VenaCava^MDC|||||F
 OBX|159|ST|720961^MDC_IDC_LEAD_MODEL^MDC|6|12345|||||F
 OBX|160|ST|720962^MDC_IDC_LEAD_SERIAL^MDC|6|6789|||||F
 OBX|161|CWE|720963^MDC_IDC_LEAD_MFG^MDC|6|753731^MDC_IDC_ENUM_MFG_BIO^MDC|||||F
 OBX|162|CWE|720965^MDC_IDC_LEAD_POLARITY_TYPE^MDC|6|753793
 ^MDC_IDC_ENUM_LEAD_POLARITY_TYPE_UNI^MDC|||||F
 OBX|163|DTM|720964^MDC_IDC_LEAD_IMPLANT_DT^MDC|6|201205|||||F
 OBX|164|CWE|720966^MDC_IDC_LEAD_LOCATION^MDC|6|753858
 ^MDC_IDC_ENUM_LEAD_LOCATION_CHAMBER_LV^MDC|||||F
 OBX|165|CWE|720967^MDC_IDC_LEAD_LOCATION_DETAIL_1^MDC|6|753922
 ^MDC_IDC_ENUM_LEAD_LOCATION_DETAIL_Apex^MDC|||||F
 OBX|166|CWE|720968^MDC_IDC_LEAD_LOCATION_DETAIL_2^MDC|6|753925
 ^MDC_IDC_ENUM_LEAD_LOCATION_DETAIL_VenaCava^MDC|||||F
 OBX|167|DTM|721025^MDC_IDC_SESS_DTM^MDC||201001021310-0600|||||F
 OBX|168|CWE|721026^MDC_IDC_SESS_TYPE^MDC||754052
 ^MDC_IDC_ENUM_SESS_TYPE_RemoteDeviceInitiated^MDC|||||F
 OBX|169|ST|721033^MDC_IDC_SESS_CLINIC_NAME
 ^MDC||abcdefghijklmnopqrstuvwxyabcdefghijklmnopqrstuvw|||F
 OBX|170|DTM|721216^MDC_IDC_MSMT_BATTERY_DTM^MDC||201205221755+0000|||||F
 OBX|171|CWE|721280^MDC_IDC_MSMT_BATTERY_STATUS^MDC||754113
 ^MDC_IDC_ENUM_BATTERY_STATUS_BOS^MDC|||||F

OBX|172|NM|721472^MDC_IDC_MSMT_BATTERY_REMAINING_LONGEVITY^MDC||132|mo||>|||F
 OBX|173|NM|721536^MDC_IDC_MSMT_BATTERY_REMAINING_PERCENTAGE^MDC||100|%|||F
 OBX|174|DTM|721664^MDC_IDC_MSMT_CAP_CHARGE_DTM^MDC||201205221755|||F
 OBX|175|NM|721728^MDC_IDC_MSMT_CAP_CHARGE_TIME^MDC||3.0|s|||F
 OBX|176|CWE|721856^MDC_IDC_MSMT_CAP_CHARGE_TYPE^MDC||754178
 ^MDC_IDC_ENUM_CHARGE_TYPE_Reformation^MDC|||F
 OBX|177|DTM|721921^MDC_IDC_MSMT_LEADCHNL_RA_DTM_START^MDC||20121211|||F
 OBX|178|DTM|721922^MDC_IDC_MSMT_LEADCHNL_RA_DTM_END^MDC||20121211|||F
 OBX|179|CWE|721984^MDC_IDC_MSMT_LEADCHNL_RA_LEAD_CHANNEL_STATUS^MDC||754241
 ^MDC_IDC_ENUM_CHANNEL_STATUS_CheckLead^MDC|||F
 OBX|180|NM|722051
 ^MDC_IDC_MSMT_LEADCHNL_RA_SENSING_INTR_AMPL_MEAN^MDC||mV|NAV||F||20121211
 OBX|181|DTM|721925^MDC_IDC_MSMT_LEADCHNL_RV_DTM_START^MDC||19990102|||F
 OBX|182|DTM|721926^MDC_IDC_MSMT_LEADCHNL_RV_DTM_END^MDC||20121211|||F
 OBX|183|CWE|721985^MDC_IDC_MSMT_LEADCHNL_RV_LEAD_CHANNEL_STATUS^MDC||754241
 ^MDC_IDC_ENUM_CHANNEL_STATUS_CheckLead^MDC|||F
 OBX|184|NM|722055
 ^MDC_IDC_MSMT_LEADCHNL_RV_SENSING_INTR_AMPL_MEAN^MDC||0.1|mV|<||F||20121211
 OBX|185|DTM|721933^MDC_IDC_MSMT_LEADCHNL_LV_DTM_START^MDC||19990102|||F
 OBX|186|DTM|721934^MDC_IDC_MSMT_LEADCHNL_LV_DTM_END^MDC||20121211|||F
 OBX|187|CWE|721987^MDC_IDC_MSMT_LEADCHNL_LV_LEAD_CHANNEL_STATUS^MDC||754241
 ^MDC_IDC_ENUM_CHANNEL_STATUS_CheckLead^MDC|||F
 OBX|188|NM|722063^MDC_IDC_MSMT_LEADCHNL_LV_SENSING_INTR_AMPL_MEAN
 ^MDC||25.0|mV||>||F||20121211
 OBX|189|CWE|722112^MDC_IDC_MSMT_LEADCHNL_RA_SENSING_POLARITY^MDC||754305
 ^MDC_IDC_ENUM_POLARITY_UNI^MDC|||F
 OBX|190|CWE|722113^MDC_IDC_MSMT_LEADCHNL_RV_SENSING_POLARITY^MDC||754306
 ^MDC_IDC_ENUM_POLARITY_BI^MDC|||F
 OBX|191|CWE|722115^MDC_IDC_MSMT_LEADCHNL_LV_SENSING_POLARITY^MDC|||OFF|||F
 OBX|192|NM|722176^MDC_IDC_MSMT_LEADCHNL_RA_PACING_THRESHOLD_AMPLITUDE
 ^MDC||V|NAV||F||20121211
 OBX|193|NM|722177^MDC_IDC_MSMT_LEADCHNL_RV_PACING_THRESHOLD_AMPLITUDE
 ^MDC||3.0|V||>||F||20121211
 OBX|194|NM|722179^MDC_IDC_MSMT_LEADCHNL_LV_PACING_THRESHOLD_AMPLITUDE
 ^MDC||0.0|V|||F||20121210
 OBX|195|NM|722240^MDC_IDC_MSMT_LEADCHNL_RA_PACING_THRESHOLD_PULSEWIDTH
 ^MDC||ms|NAV||F||19990102
 OBX|196|NM|722241^MDC_IDC_MSMT_LEADCHNL_RV_PACING_THRESHOLD_PULSEWIDTH
 ^MDC||0.4|ms|||F||19990102
 OBX|197|NM|722243^MDC_IDC_MSMT_LEADCHNL_LV_PACING_THRESHOLD_PULSEWIDTH
 ^MDC||0.4|ms|||F||19990102
 OBX|198|CWE|722304^MDC_IDC_MSMT_LEADCHNL_RA_PACING_THRESHOLD_MEASUREMENT_METHOD
 ^MDC||754369^MDC_IDC_ENUM_MEASUREMENT_METHOD_ProgrammerManual^MDC|||F
 OBX|199|CWE|722305^MDC_IDC_MSMT_LEADCHNL_RV_PACING_THRESHOLD_MEASUREMENT_METHOD
 ^MDC||754369^MDC_IDC_ENUM_MEASUREMENT_METHOD_ProgrammerManual^MDC|||F
 OBX|200|CWE|722307^MDC_IDC_MSMT_LEADCHNL_LV_PACING_THRESHOLD_MEASUREMENT_METHOD
 ^MDC||754369^MDC_IDC_ENUM_MEASUREMENT_METHOD_ProgrammerManual^MDC|||F
 OBX|201|CWE|722368^MDC_IDC_MSMT_LEADCHNL_RA_PACING_THRESHOLD_POLARITY^MDC||754305
 ^MDC_IDC_ENUM_POLARITY_UNI^MDC|||F
 OBX|202|CWE|722369^MDC_IDC_MSMT_LEADCHNL_RV_PACING_THRESHOLD_POLARITY^MDC||754306
 ^MDC_IDC_ENUM_POLARITY_BI^MDC|||F
 OBX|203|CWE|722371^MDC_IDC_MSMT_LEADCHNL_LV_PACING_THRESHOLD_POLARITY^MDC||754306
 ^MDC_IDC_ENUM_POLARITY_BI^MDC|||F
 OBX|204|NM|722432^MDC_IDC_MSMT_LEADCHNL_RA_IMPEDANCE_VALUE
 ^MDC||200|ohms||<||F||20121211
 OBX|205|NM|722433^MDC_IDC_MSMT_LEADCHNL_RV_IMPEDANCE_VALUE
 ^MDC||2000|ohms||>||F||20121211
 OBX|206|NM|722435^MDC_IDC_MSMT_LEADCHNL_LV_IMPEDANCE_VALUE
 ^MDC||201|ohms|||F||20121209
 OBX|207|CWE|722496^MDC_IDC_MSMT_LEADCHNL_RA_IMPEDANCE_POLARITY^MDC||754305
 ^MDC_IDC_ENUM_POLARITY_UNI^MDC|||F
 OBX|208|CWE|722497^MDC_IDC_MSMT_LEADCHNL_RV_IMPEDANCE_POLARITY^MDC||754305
 ^MDC_IDC_ENUM_POLARITY_UNI^MDC|||F
 OBX|209|CWE|722499^MDC_IDC_MSMT_LEADCHNL_LV_IMPEDANCE_POLARITY^MDC||754306
 ^MDC_IDC_ENUM_POLARITY_BI^MDC|||F

OBX|210|DTM|722560^MDC_IDC_MSMT_LEADHVCHNL_DTM_START^MDC|1|20121109|||||F
 OBX|211|NM|722624^MDC_IDC_MSMT_LEADHVCHNL_IMPEDANCE^MDC|1|ohms|NAV||||F
 OBX|212|CWE|722688^MDC_IDC_MSMT_LEADHVCHNL_MEASUREMENT_TYPE
 ^MDC|1|754433^MDC_IDC_ENUM_HVCHNL_MEASUREMENT_TYPE_LowVoltage^MDC|||||F
 OBX|213|CWE|722752^MDC_IDC_MSMT_LEADHVCHNL_STATUS^MDC|1|754241
 ^MDC_IDC_ENUM_CHANNEL_STATUS_CheckLead^MDC|||||F
 OBX|214|NM|729344^MDC_IDC_SET_CRT_LVRV_DELAY^MDC||-100|ms|||||F
 OBX|215|CWE|729408^MDC_IDC_SET_CRT_PACED_CHAMBERS^MDC||755265
 ^MDC_IDC_ENUM_CRT_PACED_CHAMBERS_RV_Only^MDC|||||F
 OBX|216|NM|729536^MDC_IDC_SET_LEADCHNL_RA_SENSING_SENSITIVITY^MDC||0.5|mV|||||F
 OBX|217|NM|729537^MDC_IDC_SET_LEADCHNL_RV_SENSING_SENSITIVITY^MDC||0.9|mV|||||F
 OBX|218|NM|729539^MDC_IDC_SET_LEADCHNL_LV_SENSING_SENSITIVITY^MDC||1.0|mV|||||F
 OBX|219|CWE|729600^MDC_IDC_SET_LEADCHNL_RA_SENSING_POLARITY^MDC||||OFF||||F
 OBX|220|CWE|729601^MDC_IDC_SET_LEADCHNL_RV_SENSING_POLARITY^MDC||754305
 ^MDC_IDC_ENUM_POLARITY_UNI^MDC|||||F
 OBX|221|CWE|729676^MDC_IDC_SET_LEADCHNL_LV_SENSING_ANODE_LOCATION^MDC||754498
 ^MDC_IDC_ENUM_ELECTRODE_LOCATION_RV^MDC|||||F
 OBX|222|CWE|729740^MDC_IDC_SET_LEADCHNL_LV_SENSING_ANODE_ELECTRODE^MDC||||OFF||||F
 OBX|223|CWE|729804^MDC_IDC_SET_LEADCHNL_LV_SENSING_CATHODE_LOCATION^MDC||||OFF||||F
 OBX|224|CWE|729868^MDC_IDC_SET_LEADCHNL_LV_SENSING_CATHODE_ELECTRODE
 ^MDC||754561^MDC_IDC_ENUM_ELECTRODE_NAME_Tip^MDC|||||F
 OBX|225|CWE|729920^MDC_IDC_SET_LEADCHNL_RA_SENSING_ADAPTATION_MODE^MDC||754625
 ^MDC_IDC_ENUM_SENSING_ADAPTATION_MODE_AdaptiveSensing^MDC|||||F
 OBX|226|CWE|729921^MDC_IDC_SET_LEADCHNL_RV_SENSING_ADAPTATION_MODE^MDC||754625
 ^MDC_IDC_ENUM_SENSING_ADAPTATION_MODE_AdaptiveSensing^MDC|||||F
 OBX|227|CWE|729923^MDC_IDC_SET_LEADCHNL_LV_SENSING_ADAPTATION_MODE^MDC||754626
 ^MDC_IDC_ENUM_SENSING_ADAPTATION_MODE_FixedSensing^MDC|||||F
 OBX|228|NM|729984^MDC_IDC_SET_LEADCHNL_RA_PACING_AMPLITUDE^MDC||5.1|V|||||F
 OBX|229|NM|729985^MDC_IDC_SET_LEADCHNL_RV_PACING_AMPLITUDE^MDC||5.0|V|||||F
 OBX|230|NM|729987^MDC_IDC_SET_LEADCHNL_LV_PACING_AMPLITUDE^MDC||2.8|V|||||F
 OBX|231|NM|730048^MDC_IDC_SET_LEADCHNL_RA_PACING_PULSEWIDTH^MDC||100.0|ms|||||F
 OBX|232|NM|730049^MDC_IDC_SET_LEADCHNL_RV_PACING_PULSEWIDTH^MDC||200.0|ms|||||F
 OBX|233|NM|730051^MDC_IDC_SET_LEADCHNL_LV_PACING_PULSEWIDTH^MDC||300.0|ms|||||F
 OBX|234|CWE|730112^MDC_IDC_SET_LEADCHNL_RA_PACING_POLARITY^MDC||754305
 ^MDC_IDC_ENUM_POLARITY_UNI^MDC|||||F
 OBX|235|CWE|730113^MDC_IDC_SET_LEADCHNL_RV_PACING_POLARITY^MDC||754305
 ^MDC_IDC_ENUM_POLARITY_UNI^MDC|||||F
 OBX|236|CWE|730188^MDC_IDC_SET_LEADCHNL_LV_PACING_ANODE_LOCATION^MDC||754498
 ^MDC_IDC_ENUM_ELECTRODE_LOCATION_RV^MDC|||||F
 OBX|237|CWE|730252^MDC_IDC_SET_LEADCHNL_LV_PACING_ANODE_ELECTRODE^MDC||754564
 ^MDC_IDC_ENUM_ELECTRODE_NAME_Ring2^MDC|||||F
 OBX|238|CWE|730316^MDC_IDC_SET_LEADCHNL_LV_PACING_CATHODE_LOCATION^MDC||754500
 ^MDC_IDC_ENUM_ELECTRODE_LOCATION_LV^MDC|||||F
 OBX|239|CWE|730380^MDC_IDC_SET_LEADCHNL_LV_PACING_CATHODE_ELECTRODE^MDC||754566
 ^MDC_IDC_ENUM_ELECTRODE_NAME_Ring4^MDC|||||F
 OBX|240|CWE|730432^MDC_IDC_SET_LEADCHNL_RA_PACING_CAPTURE_MODE^MDC||754690
 ^MDC_IDC_ENUM_PACING_CAPTURE_MODE_FixedPacing^MDC|||||F
 OBX|241|CWE|730433^MDC_IDC_SET_LEADCHNL_RV_PACING_CAPTURE_MODE^MDC||754691
 ^MDC_IDC_ENUM_PACING_CAPTURE_MODE_MonitorCapture^MDC|||||F
 OBX|242|CWE|730435^MDC_IDC_SET_LEADCHNL_LV_PACING_CAPTURE_MODE^MDC||754690
 ^MDC_IDC_ENUM_PACING_CAPTURE_MODE_FixedPacing^MDC|||||F
 OBX|243|CWE|730752^MDC_IDC_SET_BRADY_MODE^MDC||754760^MDC_IDC_ENUM_BRADY_MODE_DDD
 ^MDC|||||F
 OBX|244|NM|730880^MDC_IDC_SET_BRADY_LOWRATE^MDC||100|{beats}/min|||||F
 OBX|245|ST|731072^MDC_IDC_SET_BRADY_SENSOR_TYPE^MDC|Accelerometer + MV|||||F
 OBX|246|NM|731136^MDC_IDC_SET_BRADY_MAX_TRACKING_RATE^MDC||130|{beats}/min|||||F
 OBX|247|NM|731200^MDC_IDC_SET_BRADY_MAX_SENSOR_RATE^MDC||180|{beats}/min|||||F
 OBX|248|NM|731265^MDC_IDC_SET_BRADY_SAV_DELAY_HIGH^MDC||102|ms|||||F
 OBX|249|NM|731266^MDC_IDC_SET_BRADY_SAV_DELAY_LOW^MDC||101|ms|||||F
 OBX|250|NM|731329^MDC_IDC_SET_BRADY_PAV_DELAY_HIGH^MDC||104|ms|||||F
 OBX|251|NM|731330^MDC_IDC_SET_BRADY_PAV_DELAY_LOW^MDC||103|ms|||||F
 OBX|252|CWE|731392^MDC_IDC_SET_BRADY_AT_MODE_SWITCH_MODE^MDC||754763
 ^MDC_IDC_ENUM_BRADY_MODE_DDIR^MDC|||||F
 OBX|253|NM|731456^MDC_IDC_SET_BRADY_AT_MODE_SWITCH_RATE^MDC||130|{beats}/min|||||F

OBX|254|CWE|731520^MDC_IDC_SET_TACHYTHERAPY_VSTAT^MDC||754817
^MDC_IDC_ENUM_THERAPY_STATUS_On^MDC|||||F
OBX|255|CWE|731648^MDC_IDC_SET_ZONE_TYPE^MDC|1|754945^MDC_IDC_ENUM_ZONE_TYPE_Zone_VF
^MDC|||||F
OBX|256|CWE|731712^MDC_IDC_SET_ZONE_VENDOR_TYPE^MDC|1|771139
^MDC_IDC_ENUM_ZONE_VENDOR_TYPE_BSX-Zone_VF^MDC|||||F
OBX|257|CWE|731776^MDC_IDC_SET_ZONE_STATUS^MDC|1|755009
^MDC_IDC_ENUM_ZONE_STATUS_Active^MDC|||||F
OBX|258|NM|731840^MDC_IDC_SET_ZONE_DETECTION_INTERVAL^MDC|1|462|ms|||||F
OBX|259|CWE|732097^MDC_IDC_SET_ZONE_TYPE_ATP_1^MDC|1|755073
^MDC_IDC_ENUM_ATP_TYPE_Burst^MDC|||||F
OBX|260|NM|732161^MDC_IDC_SET_ZONE_NUM_ATP_SEQS_1^MDC|1|1|||||F
OBX|261|NM|732225^MDC_IDC_SET_ZONE_SHOCK_ENERGY_1^MDC|1|21.1|J|||||F
OBX|262|NM|732289^MDC_IDC_SET_ZONE_NUM_SHOCKS_1^MDC|1|1|||||F
OBX|263|NM|732226^MDC_IDC_SET_ZONE_SHOCK_ENERGY_2^MDC|1|31.1|J|||||F
OBX|264|NM|732290^MDC_IDC_SET_ZONE_NUM_SHOCKS_2^MDC|1|1|||||F
OBX|265|NM|732227^MDC_IDC_SET_ZONE_SHOCK_ENERGY_3^MDC|1|41.1|J|||||F
OBX|266|NM|732291^MDC_IDC_SET_ZONE_NUM_SHOCKS_3^MDC|1|6|||||F
OBX|267|CWE|731648^MDC_IDC_SET_ZONE_TYPE^MDC|2|754946^MDC_IDC_ENUM_ZONE_TYPE_Zone_VT
^MDC|||||F
OBX|268|CWE|731712^MDC_IDC_SET_ZONE_VENDOR_TYPE^MDC|2|771137
^MDC_IDC_ENUM_ZONE_VENDOR_TYPE_BSX-Zone_VT^MDC|||||F
OBX|269|CWE|731776^MDC_IDC_SET_ZONE_STATUS^MDC|2|755009
^MDC_IDC_ENUM_ZONE_STATUS_Active^MDC|||||F
OBX|270|NM|731840^MDC_IDC_SET_ZONE_DETECTION_INTERVAL^MDC|2|463|ms|||||F
OBX|271|CWE|732097^MDC_IDC_SET_ZONE_TYPE_ATP_1^MDC|2|755073
^MDC_IDC_ENUM_ATP_TYPE_Burst^MDC|||||F
OBX|272|NM|732161^MDC_IDC_SET_ZONE_NUM_ATP_SEQS_1^MDC|2|2|||||F
OBX|273|CWE|732098^MDC_IDC_SET_ZONE_TYPE_ATP_2^MDC|2|755074
^MDC_IDC_ENUM_ATP_TYPE_Ramp^MDC|||||F
OBX|274|NM|732162^MDC_IDC_SET_ZONE_NUM_ATP_SEQS_2^MDC|2|3|||||F
OBX|275|NM|732225^MDC_IDC_SET_ZONE_SHOCK_ENERGY_1^MDC|2|22.2|J|||||F
OBX|276|NM|732289^MDC_IDC_SET_ZONE_NUM_SHOCKS_1^MDC|2|1|||||F
OBX|277|NM|732226^MDC_IDC_SET_ZONE_SHOCK_ENERGY_2^MDC|2|32.2|J|||||F
OBX|278|NM|732290^MDC_IDC_SET_ZONE_NUM_SHOCKS_2^MDC|2|1|||||F
OBX|279|NM|732227^MDC_IDC_SET_ZONE_SHOCK_ENERGY_3^MDC|2|42.2|J|||||F
OBX|280|NM|732291^MDC_IDC_SET_ZONE_NUM_SHOCKS_3^MDC|2|3|||||F
OBX|281|CWE|731648^MDC_IDC_SET_ZONE_TYPE^MDC|3|754946^MDC_IDC_ENUM_ZONE_TYPE_Zone_VT
^MDC|||||F
OBX|282|CWE|731712^MDC_IDC_SET_ZONE_VENDOR_TYPE^MDC|3|771138
^MDC_IDC_ENUM_ZONE_VENDOR_TYPE_BSX-Zone_VT-1^MDC|||||F
OBX|283|CWE|731776^MDC_IDC_SET_ZONE_STATUS^MDC|3|755009
^MDC_IDC_ENUM_ZONE_STATUS_Active^MDC|||||F
OBX|284|NM|731840^MDC_IDC_SET_ZONE_DETECTION_INTERVAL^MDC|3|465|ms|||||F
OBX|285|CWE|732097^MDC_IDC_SET_ZONE_TYPE_ATP_1^MDC|3|755074
^MDC_IDC_ENUM_ATP_TYPE_Ramp^MDC|||||F
OBX|286|NM|732161^MDC_IDC_SET_ZONE_NUM_ATP_SEQS_1^MDC|3|4|||||F
OBX|287|CWE|732098^MDC_IDC_SET_ZONE_TYPE_ATP_2^MDC|3|755076
^MDC_IDC_ENUM_ATP_TYPE_RampScan^MDC|||||F
OBX|288|NM|732162^MDC_IDC_SET_ZONE_NUM_ATP_SEQS_2^MDC|3|5|||||F
OBX|289|NM|732225^MDC_IDC_SET_ZONE_SHOCK_ENERGY_1^MDC|3|23.2|J|||||F
OBX|290|NM|732289^MDC_IDC_SET_ZONE_NUM_SHOCKS_1^MDC|3|1|||||F
OBX|291|NM|732226^MDC_IDC_SET_ZONE_SHOCK_ENERGY_2^MDC|3|33.2|J|||||F
OBX|292|NM|732290^MDC_IDC_SET_ZONE_NUM_SHOCKS_2^MDC|3|1|||||F
OBX|293|NM|732227^MDC_IDC_SET_ZONE_SHOCK_ENERGY_3^MDC|3|43.2|J|||||F
OBX|294|NM|732291^MDC_IDC_SET_ZONE_NUM_SHOCKS_3^MDC|3|2|||||F
OBX|295|DTM|737489^MDC_IDC_STAT_DTM_START^MDC||20120522|||||F
OBX|296|DTM|737490^MDC_IDC_STAT_DTM_END^MDC||20120522|||||F
OBX|297|DTM|737505^MDC_IDC_STAT_BRADY_DTM_START^MDC||20120522|||||F
OBX|298|DTM|737506^MDC_IDC_STAT_BRADY_DTM_END^MDC||20120522|||||F
OBX|299|NM|737520^MDC_IDC_STAT_BRADY_RA_PERCENT_PACED^MDC||0|%|||||F
OBX|300|NM|737536^MDC_IDC_STAT_BRADY_RV_PERCENT_PACED^MDC||0|%|||||F
OBX|301|DTM|737777^MDC_IDC_STAT_CRT_DTM_START^MDC||20120522|||||F
OBX|302|DTM|737778^MDC_IDC_STAT_CRT_DTM_END^MDC||20120522|||||F
OBX|303|NM|737792^MDC_IDC_STAT_CRT_LV_PERCENT_PACED^MDC||0|%|||||F

OBX|304|CWE|737952^MDC_IDC_STAT_EPISODE_TYPE^MDC|1|754882
 ^MDC_IDC_ENUM_EPISODE_TYPE_Epis_VT^MDC|||||F
 OBX|305|CWE|737984^MDC_IDC_STAT_EPISODE_VENDOR_TYPE^MDC|1|771077
 ^MDC_IDC_ENUM_EPISODE_VENDOR_TYPE_BSX-Epis_NSVT^MDC|||||F
 OBX|306|NM|738000^MDC_IDC_STAT_EPISODE_RECENT_COUNT^MDC|1|0|||||F
 OBX|307|DTM|738017^MDC_IDC_STAT_EPISODE_RECENT_COUNT_DTM_START^MDC|1|20120522|||||F
 OBX|308|DTM|738018^MDC_IDC_STAT_EPISODE_RECENT_COUNT_DTM_END^MDC|1|20120522|||||F
 OBX|309|CWE|737952^MDC_IDC_STAT_EPISODE_TYPE^MDC|1|754882
 ^MDC_IDC_ENUM_EPISODE_TYPE_Epis_VT^MDC|||||F
 OBX|310|CWE|737984^MDC_IDC_STAT_EPISODE_VENDOR_TYPE^MDC|1|||||F
 OBX|311|NM|738000^MDC_IDC_STAT_EPISODE_RECENT_COUNT^MDC|1|0|||||F
 OBX|312|DTM|738017^MDC_IDC_STAT_EPISODE_RECENT_COUNT_DTM_START^MDC|1|20120522|||||F
 OBX|313|DTM|738018^MDC_IDC_STAT_EPISODE_RECENT_COUNT_DTM_END^MDC|1|20120522|||||F
 OBX|314|CWE|737952^MDC_IDC_STAT_EPISODE_TYPE^MDC|2|754884
 ^MDC_IDC_ENUM_EPISODE_TYPE_Epis_SVT^MDC|||||F
 OBX|315|CWE|737984^MDC_IDC_STAT_EPISODE_VENDOR_TYPE^MDC|2|771076
 MDC_IDC_ENUM_EPISODE_VENDOR_TYPE_BSX-Epis_SVT^MDC|||||F
 OBX|316|NM|738000^MDC_IDC_STAT_EPISODE_RECENT_COUNT^MDC|2|0|||||F
 OBX|317|DTM|738017^MDC_IDC_STAT_EPISODE_RECENT_COUNT_DTM_START^MDC|2|20120522|||||F
 OBX|318|DTM|738018^MDC_IDC_STAT_EPISODE_RECENT_COUNT_DTM_END^MDC|2|20120522|||||F
 OBX|319|CWE|737952^MDC_IDC_STAT_EPISODE_TYPE^MDC|4|754883
 ^MDC_IDC_ENUM_EPISODE_TYPE_Epis_ATAF^MDC|||||F
 OBX|320|CWE|737984^MDC_IDC_STAT_EPISODE_VENDOR_TYPE^MDC|4|771078
 ^MDC_IDC_ENUM_EPISODE_VENDOR_TYPE_BSX-Epis_ATR^MDC|||||F
 OBX|321|NM|738000^MDC_IDC_STAT_EPISODE_RECENT_COUNT^MDC|4|0|||||F
 OBX|322|DTM|738017^MDC_IDC_STAT_EPISODE_RECENT_COUNT_DTM_START^MDC|4|20120522|||||F
 OBX|323|DTM|738018^MDC_IDC_STAT_EPISODE_RECENT_COUNT_DTM_END^MDC|4|20120522|||||F
 OBX|324|CWE|737952^MDC_IDC_STAT_EPISODE_TYPE^MDC|5|754888
 ^MDC_IDC_ENUM_EPISODE_TYPE_Epis_Other^MDC|||||F
 OBX|325|CWE|737984^MDC_IDC_STAT_EPISODE_VENDOR_TYPE^MDC|5|||||F
 OBX|326|NM|738000^MDC_IDC_STAT_EPISODE_RECENT_COUNT^MDC|5|0|||||F
 OBX|327|DTM|738017^MDC_IDC_STAT_EPISODE_RECENT_COUNT_DTM_START^MDC|5|20120522|||||F
 OBX|328|DTM|738018^MDC_IDC_STAT_EPISODE_RECENT_COUNT_DTM_END^MDC|5|20120522|||||F
 OBX|329|CWE|737952^MDC_IDC_STAT_EPISODE_TYPE^MDC|6|754881
 ^MDC_IDC_ENUM_EPISODE_TYPE_Epis_VF^MDC|||||F
 OBX|330|CWE|737984^MDC_IDC_STAT_EPISODE_VENDOR_TYPE^MDC|6|771073
 ^MDC_IDC_ENUM_EPISODE_VENDOR_TYPE_BSX-Epis_VF^MDC|||||F
 OBX|331|NM|738000^MDC_IDC_STAT_EPISODE_RECENT_COUNT^MDC|6|1|||||F
 OBX|332|DTM|738017^MDC_IDC_STAT_EPISODE_RECENT_COUNT_DTM_START^MDC|6|20120522|||||F
 OBX|333|DTM|738018^MDC_IDC_STAT_EPISODE_RECENT_COUNT_DTM_END^MDC|6|20120522|||||F
 OBX|334|CWE|737952^MDC_IDC_STAT_EPISODE_TYPE^MDC|7|754882
 ^MDC_IDC_ENUM_EPISODE_TYPE_Epis_VT^MDC|||||F
 OBX|335|CWE|737984^MDC_IDC_STAT_EPISODE_VENDOR_TYPE^MDC|7|771074
 ^MDC_IDC_ENUM_EPISODE_VENDOR_TYPE_BSX-Epis_VT^MDC|||||F
 OBX|336|NM|738000^MDC_IDC_STAT_EPISODE_RECENT_COUNT^MDC|7|2|||||F
 OBX|337|DTM|738017^MDC_IDC_STAT_EPISODE_RECENT_COUNT_DTM_START^MDC|7|20120522|||||F
 OBX|338|DTM|738018^MDC_IDC_STAT_EPISODE_RECENT_COUNT_DTM_END^MDC|7|20120522|||||F
 OBX|339|CWE|737952^MDC_IDC_STAT_EPISODE_TYPE^MDC|8|754882
 ^MDC_IDC_ENUM_EPISODE_TYPE_Epis_VT^MDC|||||F
 OBX|340|CWE|737984^MDC_IDC_STAT_EPISODE_VENDOR_TYPE^MDC|8|771075
 ^MDC_IDC_ENUM_EPISODE_VENDOR_TYPE_BSX-Epis_VT-1^MDC|||||F
 OBX|341|NM|738000^MDC_IDC_STAT_EPISODE_RECENT_COUNT^MDC|8|3|||||F
 OBX|342|DTM|738017^MDC_IDC_STAT_EPISODE_RECENT_COUNT_DTM_START^MDC|8|20120522|||||F
 OBX|343|DTM|738018^MDC_IDC_STAT_EPISODE_RECENT_COUNT_DTM_END^MDC|8|20120522|||||F
 OBX|344|CWE|737952^MDC_IDC_STAT_EPISODE_TYPE^MDC|9|754884
 ^MDC_IDC_ENUM_EPISODE_TYPE_Epis_Monitor^MDC|||||F
 OBX|345|CWE|737984^MDC_IDC_STAT_EPISODE_VENDOR_TYPE^MDC|9|||||F
 OBX|346|NM|738000^MDC_IDC_STAT_EPISODE_RECENT_COUNT^MDC|9|4|||||F
 OBX|347|DTM|738017^MDC_IDC_STAT_EPISODE_RECENT_COUNT_DTM_START^MDC|9|20120522|||||F
 OBX|348|DTM|738018^MDC_IDC_STAT_EPISODE_RECENT_COUNT_DTM_END^MDC|9|20120522|||||F

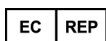
Outdated version. Do not use.
Version überholt. Nicht verwenden.
Version obsolète. Ne pas utiliser.
Versión obsoleta. No utilizar.
Versione obsoleta. Non utilizzate.
Verouderde versie. Niet gebruiken.
Föråldrad version. Använd ej.
Παλιά έκδοση. Μην την χρησιμοποιείτε.
Versão obsoleta. Não utilize.
Forældet version. Må ikke anvendes.
Zastaralá verze. Nepoužívat.
Utdatert versjon. Skal ikke brukes.
Zastaraná verzia. Nepoužívať.
Elavult verzió. Ne használja!
Wersja nieaktualna. Nie używać.

Outdated version. Do not use.
Version überholt. Nicht verwenden.
Version obsolète. Ne pas utiliser.
Versión obsoleta. No utilizar.
Versione obsoleta. Non utilizzare.
Verouderde versie. Niet gebruiken.
Föråldrad version. Använd ej.
Παλιά έκδοση. Μην την χρησιμοποιείτε.
Versão obsoleta. Não utilize.
Forældet version. Må ikke anvendes.
Zastaralá verze. Nepoužívat.
Utdatert versjon. Skal ikke brukes.
Zastaraná verzia. Nepoužívať.
Elavult verzió. Ne használja!
Wersja nieaktualna. Nie używać.

Boston Scientific



Boston Scientific
4100 Hamline Avenue North
St. Paul, MN 55112-5798 USA



Guidant Europe NV/SA; Boston Scientific
Green Square, Lambroekstraat 5D
1831 Diegem, Belgium

1.800.CARDIAC (227.3422)
+1.651.582.4000

www.bostonscientific.com

© 2013 Boston Scientific Corporation or its affiliates.
All rights reserved.

359273-010 EL Europe 2013-10

Outdated version. Do not use.
Version überholt. Nicht verwenden.
Version obsolete. Ne pas utiliser.
Versión obsoleta. No utilizar.
Versione obsoleta. Non utilizzare.
Verouderde versie. Niet gebruiken.
Föråldrad version. Använd ej.
Παλιά έκδοση. Μην την χρησιμοποιείτε.
Versão obsoleta. Não utilize.
Forældet version. Må ikke anvendes.
Zastaralá verze. Nepoužívat.
Utdatert versjon. Skal ikke brukes.
Zastaraná verzia. Nepoužívať.
Elavult verzió. Ne használja!
Wersja nieaktualna. Nie używać.

CE

